

Fränkischen Jura. HÄSSLEIN (1966: 135) nimmt an, dass die rezente Anwesenheit dieser Molluskengesellschaften in Bayern mit der postglazialen Laubholzausbreitung während des feuchtwarmen Atlantikums im Zusammenhang stehen dürfte. Derselbe Autor (1960: 122–124) beschreibt eine „eemzeitliche“ *Aegopis-verticillus*-Gesellschaft aus dem Helmloch bei Etzelwang, mit *Sphyradium doliolum*, *Pagodulina pagodula*, *Macrogastra attenuata lineolata*, *Macrogastra densestriata*, *Clausilia cruciata*, *Ruthenica filigrana*, *Discus ruderratus*, *Oxychilus depressus*, *Cochlodina commutata franconica*, *Clausilia dubia* und *Bulgarica cana* als Assoziationscharakterarten.

Ostalpin-dinarisch; nordwestliche Balkanhalbinsel, Ostalpen, bis Salzburger und Karnische Alpen, zerstreut bis ins Mährische Stufenland, in Deutschland vereinzelt. In Österreich in der östlichen Landeshälfte allgemein verbreitet; sie scheint aber in weiten Teilen Niederösterreichs nördlich der Donau zu fehlen (KLEMM 1974a: 235–238; Karte 70; FRANK 1982a, 1983a, 1984, 1985). Nach KLEMM (1974a: 235) ist die Verbreitungsgrenze gegen Westen in Österreich ziemlich scharf: im Norden in der Umgebung von Braunau am Inn (Oberösterreich) und Unken (Salzburg), im Süden in der Umgebung von Lienz (Osttirol). Nach BOLE (1983:

135–136) nimmt diese conchologisch wie anatomisch gut differenzierte Art das größte Areal innerhalb der Gattung ein.

Hochwarmzeitlich; interglaziale Leitart; pleistozän-warmzeitlich offenbar im ganzen deutsch-böhmischen Mittelgebirge und den Westkarpaten zusammenhängend verbreitet; im letzten Interglazial besonders nach Süd-, Mittel- und Westdeutschland weiter verbreitet als heute. Holozäne Fundmeldungen im heutigen Bereich; darüber hinaus erreichte sie noch Süddeutschland und den Westen der ehemaligen ČSFR.

Fundstellen

Abri von Elsbethen:

Boreal, voll entwickelt

Qu. 87.30.1 (cf.)

Atlantikum

Qu. 6hE2, Qu. 6gF2, Qu. 6hG2, Qu. 6gH3 (cf.), Qu. 6hH5

Aigen, Hohlweg:

Jungpleistozän

„Paudorfer Bodenbildung“, Unterkante (Probe 1)

Allander Tropfsteinhöhle:

Mittelholozän

Höhlenlehm aus dem „Diebsversteck“, Höhe Schaukasten

Blockhöhle bei Badl:

Jungholozän?

Höhlenfüllung

Braunsberg, Hainburger Berge:

Jungholozän; ältere Hallstatt- und jüngere Latènezeit, 2. bis 1. Jhdt. v. Chr.

Wallschnitt 6:

Plan 3; Lfm. 5,8 (Fn. 1464) (cf.)

Plan 5; Lfm. 7,20 (Fn. 1529), Lfm. 9 (Fn. 1530)

Plan 6; Lfm. 11: Pfl. (Fn. 1561), Lfm. 15 (Fn. 1562: cf.)

Plan 7; Lfm. 6,50 (Fn. 1583: cf.), Lfm. 7,70 (Fn. 1584), Lfm. 10: dunkle Verf. = Pfl. in Pfg. (Fn. 1585: cf.), Lfm. 13: Verf. (Fn. 1587: cf.)

Plan 8; Lfm. 4,20 (Fn. 1604), Lfm. 6,50 (Fn. 1606), Lfm. 7,40: Pfl. (Fn. 1607: cf.), Lfm. 8: Verf. (Fn. 1559: cf.), Lfm. 8,70 (Fn. 1610), Lfm. 10,20: hell verflockte Verf. (Fn. 1611: cf.), Lfm. 12,40: braune Verf. (Fn. 1613: cf.)

Plan 9; Lfm. 5,70 (Fn. 1639), Lfm. 10,60 (Fn. 1642)

N-Profil: Lfm. 10,4: 240 cm v. oben (Fn. 1733), 110 cm v. oben (Fn. 1737: cf.), 60 cm v. oben (Fn. 1739)

S-Profil: Lfm. 6,14/+70 cm (Fn. 1704: cf.), 6,14/+142 cm (Fn. 1706: cf.); Lfm. 8,10/-60 cm (Fn. 1708: cf.), 8,10/+60 cm (Fn. 1712: cf.); Lfm. 10/-35 cm (Fn. 1720: cf.); Lfm. 13,80/+35 cm -50 cm unter HOK (Fn. 1729), 13,80/+55 cm -70 cm unter HOK (Fn. 1730: cf.); Lfm. 10,50/-140 cm -140 cm unter HOK (Fn. 1741).

Wallschnitt 5:

Älter als Hallstatt: Schicht unter Holzkohle mit gebranntem Lehm (Fn. 1990/1: cf.)

Hallstatt, über gewachsenem Boden: 15–20 cm unter 1990/1 (Fn. 1990/2)

Älter als 1990/1: oberhalb des Felsens (Fn. 1990/3: cf.)

Brettsteinbärenhöhle:

Mittelholozän

Grabungsstelle 1

Durezza-Schachthöhle:

Jungholozän

Sektor A über Plan. 2

Nische A/1. Abstich KS

Sektor A1, Abstich über Plan. 6 + Reste aus FK 9

Sektor A1, 2. Abstich über Plan. 6

Sektor B, Nische über Plan. 4

Sektor B, Nische Sektor e über Plan. 5

Sektor B, Nische Sektor f über Plan. 5

Sektor B1, unter FK 16 über Plan. 7

Sektor B2, Nische B über Plan. 6

„Aushub Höhlenforscher“ (ohne Angaben)

Furth, Hohlweg:

Jungpleistozän

Unterkante der „Göttweiger Bodenbildung“

Gamssulzenhöhle:

Spätglazial

Fundstelle 1: Eingangshalle

Gars-Thunau:

Jüngstholozän

Grabung 1978, D, Schn. 75: Lfm. 11, Gru. 30–Gru.ende, Verf. 75 unter Plan. 1; Lfm. 11–12, Gru. 75

Grabung 1978, D, Gru. 50–Gru.ende

Grabung 1978, D, Schn. 76, Lfm. 28–30,5, Gru. 107

Grabung 1982, E, Schn. 91: Lfm. 1–2/A, fgmn, Plan. 3–4 (2. Sack); Lfm. 0–1/B, bcgh, Plan. 4–5

Grabung 1986, H, Schn. 133, Lfm. 0, Sektor A, Sig. 11 (Fn. 13096: cf.); Schn. 140, Lfm. 17–18, Sektor B, Plan. 0–Fels, V 53 (cf.); Schn. 147, Lfm. 18, Sig. 2 (Fn. 13104)

Grabung 1988, J, Schn. 164, Sig. 6+10, x = 9–11, y = 3–4 (cf.)

Grabung 1996, Schn. 351, Pfl. 6, Plan. 5,9 (Fn. 55702)

Grabung 1996, Schn. 352, Pfl. 2, Plan. 2,9 (Fn. 55944)

Gauderndorf:

Etwa zeitgleich: Epiatlantikum

Graben I, Schn. 1, AB-Profil, Lfm. 16–18 (Proben 1–3, 6, 9)

Graben II, Schn. 1, AB-Profil, Lfm. 24–28 (Proben 1–5, 7, 9, 11)

Graben II, Schn. 1, AB-Profil, Lfm. 103–106 (Proben 3, 5, 6, 11, 12)

Graben III, Schn. 1, AB-Profil, Lfm. 36–40 (Proben 3, 5, 7, 11)

Graben III, Schn. 1, AB-Profil, Lfm. 92–96 (Proben 1–4, 6, 9, 11, 13)

Georgiberg b. St. Kanzian:

Wahrscheinlich Mittelalter

I/Wallschnitt 2 (gelbe Schicht mit Konglomerat)

Gracarca:

9. Jhdt. v. Chr. bis späte Latènezeit

Zisterne (2, Mauerschutt)

Wahrscheinlich später als Latène

Sektor G2 (Westprofil): Mauerversturz

Zisterne (3, über anstehendem Konglomerat)

Große Badlhöhle:

Spätglazial

unterer (= Haupt-)Eingang: Schicht 4, 4 a (Kleinsäugerschicht)

Hausberghöhle I:

Epiatlantikum bis subrezent

Spaltenfüllung (Sedimentanschnitt)

Herdengelhöhle:

Frühes Holozän: Präboreal/Boreal

Probe 1: Eingangsbereich, Verfüllung

Spätglazial oder mittelwürmzeitlich?

Probe 2: Eingangsbereich, Abraumsediment

Frühes Mittelholozän

Probe 3: Eingangsbereich, Entkalkungshorizont

Hinterbrühl, Schneckenkluft:

Epiatlantikum

Füllmaterial

Hirschenfallhöhle:

Mittelholozän

Wurzeldom:

Probe Nr. 1 (grobes, sinteriges Material)

Probe Nr. 2 (grobes Substrat, mit vielen Knochen)

Probe Nr. 5 (oberstes Ende, sehr grobes Substrat)

Probe Nr. 6 (grobes Substrat)

Großer Dom:

Probe Nr. 4 (grobes Substrat)

Subrezent

Substratprobe aus dem Einstiegsbereich

Hohenberg, „Steinbruch“:

Präboreal

Fundschicht SE 4

Frühes Atlantikum

Fundschicht SE 8A (cf.)

Subboreal bis Subatlantikum

Fundschicht SE 9

Holozän

Fundschicht SE 2

Hornsborg 3:

Epiatlantikum

Graben I, Schn. 1, SW-Profil, Lfm. 5,2–9,2 (Proben 5, 7–9, 14)

Hundsheim:

(Frühes) Mittelpleistozän

Proben Nr. 1 und 2 (Füllmaterial)

Kamegg (TRNKA):

Jungpleistozän

Grabung 1985, Schn. 9, Gra. II, O-Tor, N-Ende, O-Hälfte, Längsprof. EF: Sig. 1

Epiatlantikum, älterer bis mittlerer Abschnitt

Grabung 1987, Schn. 21, Gra. II, CD-Profil., SW-Sektor:

Bpr. 4, Ka. 4, Bpr. 5, Ka. 5, Ka. 6, Bpr. 7, Ka. 7 atro, Bpr. 8, Ka. 8 atro, Bpr. 9, Bpr. 10

Epiatlantikum, voll entwickelt

Grabung 1984, Schn. 6, Gru. 20, NO (Nr. 402)

Epiatlantikum, 2. Hälfte

Grabung 1988, Schn. 23, Gra. II, AB-Profil.: Bpr. 1–3, 5, 9

Epiatlantikum, ausklingend

Grabung 1985, Schn. 9, Gra. II, O-Tor, N-Ende, O-Hälfte, N-Prof. AB: Sig. 2, 5–11, 13–15

Grabung 1985, Schn. 10, Gra. I, S-Profil.: Bpr. 9, 12, 13 (cf.)

Grabung 1986, Schn. 12, Gra. II, S-Profil. AB: Sig. 5, Bpr. 5,

Bpr. 6; Sig. 7, Bpr. 8; Sig. 7b, Bpr. 7; Sig. 10, Bpr. 9; Sig. 11, Bpr. 10; Sig. 19, Bpr. 12; Sig. 21, Bpr. 13

Grabung 1987, Schn. 18, Gra. I, W-Profil.: Bpr. 2, Bpr. 5, Bpr. 15, Bpr. 18, Bpr. 20 (cf.)

Grabung 1991, Schn. 32, Gra. I, GH-Profil.: Seg. 2, Spr. 1; Seg. 2, Spr. 2; Seg. 2, Spr. 3; Seg. 2, Spr. 6 (cf.); Seg. 3, Spr. 1; Seg. 3, Spr. 2

Epiatlantikum

Grabung 1981, Schn. 1: Lfm. 16–18, Plan. 1–2, aus Verf. (Gra.) (Nr. 4); Lfm. 16–18, Plan. 1–2, aus Verf. (Gra.) (Nr. 42); Lfm. 16–18, Plan. 1–2 (Nr. 43: cf.); Lfm. 16–17, Plan. 2–3, Gra. I (Nr. 55); Lfm. 16–17, Plan. 2–3, NO-Erweiterung (Nr. 56: cf.); Lfm. 58–59, Plan. 2–3, Gra. II (Nr. 57); Lfm. 59–60, Plan. 2–3, Gra. II (Nr. 58); Lfm. 57–58, unter Plan. 3, Gra. II (Nr. 75); Lfm. 54–56, Gra. II, Plan. 3–4 (Nr. 77); Lfm. 56–58, Plan. 4–5, Gra. II (Nr. 86); Lfm. 18, Plan. 4–5, Gra. 1 (Nr. 90); Lfm. 56–58, Plan. 5–6, Gra. II (Nr. 95); Lfm. 58–60, Plan. 5–6, Gra. II (Nr. 96); Lfm. 57–59, Plan. 6–Gra.ende, –3,7 m unter Bodenoberkante (Nr. 100)

Grabung 1981, Schn. 3: Verf. 1 (in 3 Proben aus Verf. 1)

Grabung 1983, Schn. 4: Lfm. 19,5–25,15, Sektor I-K, Plan. 1–2, Gra. II, Tor (Nr. 161); Lfm. 26–28, Sektor B-C, Plan. 3–4, Gra. II (Nr. 215: großwüchsig); Lfm. 28–30, Sektor B-C, Plan. 3–4, Gra. II (Nr. 216)

Grabung 1986, Schn. 12, Gra. II: Plan. 4–5 (Nr. 610), Plan. 3–4 (Nr. 611), Plan. 5–6 (Nr. 612), Plan. 6–7 (Nr. 615), Plan. 7–8 (Nr. 617)

Grabung 1986, Gra. II, SW-Hälfte: Plan. 3–4 (Nr. 613); Plan. 6–7 (Nr. 623)

Grabung 1986, Schn. 14, Gra. I, Lfm. 0–10, Sektor A-F, Plan. 1–2 (Nr. 591)

Grabung 1987, Schn. 16, Gra. II, Lfm. 2–6, Sektor E/F/G, Plan. 2–3 (Nr. 699: sehr großwüchsig); Lfm. 4–6, Sektor C/D, Plan. 3–4 (Nr. 722: groß); Lfm. 4–6, Sektor E/F/G, Plan. 3–4 (Nr. 725); Lfm. 8–10, Sektor C/D, Plan. 3–4 (Nr. 727); Lfm. 8–10, Sektor E/F/G, Plan. 3–4 (Nr. 728); Probe ohne Nr. („Muscheln“)

Grabung 1987, Schn. 17, Gra. II, Lfm. 38–44, Plan. 2–3 (Nr. 692)

Grabung 1987, Schn. 20, Gra. II, N-Prof.: Bpr. 2 (cf.), Bpr. 4, Bpr. 7, Bpr. 8, Bpr. 9, Bpr. 10, Bpr. 11, Bpr. 12, Bpr. 13, Bpr. 16, Bpr. 17 (cf.), Bpr. 19, Bpr. 20, Bpr. 21

Grabung 1987, Schn. 21, Gra. II: Plan. 2–3 (Nr. 771); Plan. 6–7 (Nr. 795)

Grabung 1988, Schn. 25: Bpr. 89 (Nr. 881), Bpr. 90 (Nr. 882), Bpr. 91 (Nr. 875), Bpr. 92 (Nr. 876); Lfm. 2–4, Sektor I–J, Bpr. 93 (Nr. 886), Bpr. 94 (Nr. 883), Bpr. 97 (Nr. 884)

Grabung 1988, Schn. 26: Lfm. 2–3, Schlitzgru. 98 (Nr. 864), Bpr. = Verf. 99 (Nr. 891)

Grabung 1988, Schn. 27, Bpr. = Verf. 101 (Nr. 892)

Grabung 1990, Schn. 28, Gra. II, Plan. 1–2 (Nr. 895)

Grabung 1992, Schn. 34, Gra. I, Sed.Zone C: Plan. 1–2 (Nr. 1062); Plan. 2–3 (Nr. 1065: sehr großwüchsig); Plan. 3–4 (Nr. 1066); Plan. 4–5 (Nr. 1068); Plan. 1–2 (Nr. 1070)

Grabung 1992, Schn. 34, Verf. 165 (Nr. 1102)

Jünger als Epiatlantikum

Grabung 1985, Schn. 9, Gra. II, O-Tor, N-Ende, O-Hälfte, Längsprof. EF: Sig. 2, 5, 7, 11, 13, 14, W-Ende, 15–17, 19 (cf.), 21

Grabung 1985, Schn. 9, Gra. II: 0–40 cm unter Plan. 1, O-Tor, N-Ende (Nr. 471); zwischen Plan. 1 und 2, Längsprof. (Nr. 472); Nr. 477; bis Plan. 2 (–60 cm von Plan. 1), O-Tor, N-Ende (Nr. 489: groß); 1,7 m unter Plan. 1–2, O-Tor, S-Ende (Nr. 513)

Karnabrunn:

Epiatlantikum

Graben I, Schn. 1, NO-Profil (Probe 4: cf.)

Köhlerwandhöhle:

Frühatlantikum

Grabungsstelle 1: Qu. F3 (grauer Humushorizont mit Wurzeln), Qu. F3 (100–105 cm), Qu. F3 (110–120 cm), Qu. F3/F4 (graubrauner Humus mit Geröll), Qu. F3/F4 (zwischen Blockwerk über Gestein), Qu. F4 (brauner Humushorizont), Qu. F4 (87–100 cm), Qu. F4 (100–110 cm), Qu. F4 (110–120 cm); oberflächlich an der Höhlenwand bei P 12, bei P 7 und P 15 (5 cm Schichtdicke)

Kollnbrunn:

Subboreal/frühbronzezeitlich, jungpleistozän vermischt

Graben II, Schn. 1, AB-Profil (Probe 12)

Krems, Schießstätte:

Ältestpleistozän

Probe KR 7: Paläoboden 7

Probe KR 9: Paläoboden 9

Mittelpleistozän

Probe KR 4/1: Oberkante von Paläoboden 4

Probe KR 4/2: Paläoboden 4

Krems, Hundssteig:

Jungpleistozän: Gravettien

Probenserie 1: Probe Nr. 1/14

Krems, Bäckersteig, Keller:

Jungpleistozän?

Probe 4: abgestochener Abraum außerhalb des Kellers

Lanzenkirchen:

1. Hälfte 12. Jhdt.

Phase 1B (Versturz M 10): Sig 108 (Fnr. 862)

Phase 1C (5–10 cm mächtiger Begehungshorizont über humoser Planierung): Sig. 17/7 (Fnr. 613, 662, 676); Begehungshorizont: Sig 52/6 (Fnr. 767)

12. Jhdt.

Phase 2A Begehungsniveau auf Humus (älteste Begehungshorizonte; Abschluss des Burgenbaues): Sig. 62/5 = 74/5 (Fnr. 732)

Phase 2B (älteste Begehungshorizonte; Stampflehmestrich im Hof): Sig. 38/6 (Fnr. 606)
12./13. Jhdt.

Phase 3B (Interface und Verf. Grube 3/2): Sig. 45 (Fnr. 965)

Phase 3C (Planierschichten auf 13A/7; verlagerter Aulehm in Steingebäude): Sig. 18/7+13/7 (Fnr. 618)

Phase 3C (Kieselrollierungen; Kulturschicht im Hof): Sig. 29/5 (Fnr. 596)

Phase 3C (Verfüllung Abwasserkanälchen Burghof): Sig. 96/5 (Fnr. 807)

2. Hälfte 13./Anf. 14. Jhdt.

Phase 4A (Interface und Verf. Pfl. 5/5): Sig. 19/5 (Fnr. 793)

Phase 4A (Interface und Verf. Pfl. 1/5) Sig. 21/5 (Fnr. 710)

Phase 4B (Planierschichten; „Einmottung“): Sig. 6/7 (Fnr. 694)

Phase 4C (Verf. Grube 1/6 im Steingebäude): Sig. 54/4 (Fnr. 768)

Anf. 14. Jhdt. bis Anf. 15. Jhdt.

Phase 5A (Interface und Verf. Grube 1/2): Sig. 43/2 (Fnr. 964, 977, 981, 983)

Phase 5A (Verfüllschichten, Grube 2/2): Sig. 55/2 (Fnr. 942)

Phase 5A (Interface, Holzeinbau und Verfüllung Grube 1/4): Sig. 77/4 (Fnr. 810, 880)

2. Hälfte 15. Jhdt.

Phase 5B (Interface und Verfüllung Gräbchen): Sig. 5/2 (Fnr. 962: cf., 963, 985)

Nachburgzeitlich: 16.–20. Jhdt.

Phase 7 (Schuttschichten der Neuzeit, Ausrissgräben der Mauern): Sig. 1/7 (Fnr. 661)

Phase 7 (Schuttschichten der Neuzeit, Ausrissgräben der Mauern): Sig. 4/5 (Fnr. 796)

Phase 7 (Schuttschichten der Neuzeit, Ausrissgräben der Mauern): Sig.1/7 (Fnr. 613)

Lurgrotte:

Frühes Mittelholozän

Gesiebe (Höhleninneres)

Mautern a. d. Donau/Favianis, Auxiliarkastell:

Grabung Frauenhofgasse:

ca. 100–130 n. Chr.

Periode 2: Qu. A1, Sch. 120, W-Profil (Gehniveau).

ca. 180–260 n. Chr.

Periode 4: Qu. A1, Sch. 12, N-Profil (Brandschicht)

ca. 260/280–350 n. Chr.

Periode 5: Sch. 69, N-Profil, Grube (Pfostenlochverfüllung)

Grabung Frauenhofgasse SO:

ca. 350–450 n. Chr.

Periode 6: Qu. A1–A2, Steg, Grube 37 (Verfüllung); Sch. 42, Grube 4 (Verfüllung); Sch. G4, Grube 47 (Verfüllung)

Grabung Wasserleitungskünette:

Mittelalter/Neuzeit?

Lfm. 75–49

Mithrasgrotte bei Markt Neuhodis:

Jüngstholozän

Oberflächensediment aus dem Schluff oberhalb der Grotte

Mühlbach am Manhartsberg:

Mittelholozän

Grabung 1985, Schn. 1, Gra., N-Prof.: Sig. 7, Sig. 9

Nixloch:

Aus frühholozänen und rezenten Störungen

Qu. J13A/NL16 = Nebenhöhle

Subrezent?

NL32 = Nische westlich des Nixloches, NL 54 und NL59 = Nebenhöhle

Ottenthal:

Jungpleistozän: wahrscheinlich Spätwürm

Probe Nr. 7: 100–120 cm über der Unterkante des Tschernosems

Paudorf:

Jungpleistozän

Probe Nr. 1: Unterkante der unteren Bodenbildung („Göttweiger Bodenbildung“), aus den obersten Schichten des liegenden Lösses („Lo1“)

Probe Nr. 2: Unterkante der oberen Bodenbildung („Paudorfer Bodenbildung“, „Lo2+Lo3“)

Probe Nr. 4 (Neuaufnahme): obere Bodenbildung

Typusprofil: holozäne humose Sedimente, linker Rand des Aufschlusses („Lo5“)

Poschenreitherschacht:

Subrezent

Kammer südlich des Einstiegs

Prellkirchen:

Älter als die archäologische Datierung (Frühhestholozän)

Obj. 756 (Fnr. 357)

Rosenburg:

Mittelholozän

Grabung 1987, Schn. 2, Gra. I, CD-Prof.: Bpr. 14 (cf.), Bpr. 16 (cf.)

Grabung 1987, Schn. 3, Verf. 10, S-Hälfte, unterer Bereich (mit Lößbeimischungen)

Spätes Mittelholozän, wahrscheinlich jünger als die Siedlung

Grabung 1987, Schn. 4, Gra. I, SO-Tor, W-Ende, AB-Prof.: Bpr. 2

Epiatlantikum, ausklingend

Grabung 1989, Schn. 10, Schlitzgru. 44, N-Hälfte (Nr. 281)

Schwabenreithöhle:

Jungholozän

Grabungsstelle 1: Wolkengang

Stranzendorf:

Mittelplozän

Rotlehm C (cf.)

Oberpliozän

Braunlehme G, K (in K: „cf.“)

Lößpaket K/L (cf.)

Straß im Straßertale:

Wahrscheinlich etwas jünger als die Siedlung: spätes Mittelholozän

1989, Schn. 3: NO-Sektor, Plan. 3–Verf. Sohle, Sig. 19 (Nr. 1583); SW-Sektor, Plan. 3–Verf. Sohle, Sig. 19 (Nr. 1584)

Stratzing/Krems-Rehberg:

Jungpleistozän

Prof. I: Tennisplatz-Ziegelei (1994): Probe 15 (350–375 cm Tiefe), Probe 17 (400–425 cm), Probe 18 (425–450 cm), Probe 19 (450–475 cm), Probe 20 (475–500 cm), Probe 20A (500 cm), Probe 21 (500–525 cm), Probe 23 (550–575 cm)

Prof. II: Tennisplatz-Ziegelei (1994): Probe 1 (0–25 cm Tiefe), Probe 2 (25–50 cm), Probe 3 (50–75 cm), Probe 4 (75–100 cm), Probe 5 (100–125 cm), Probe 6 (125–150 cm), Probe 7 (150–175 cm), Probe 8 (175–200 cm), Probe 9 (200–225 cm), Probe 10 (225–250 cm), Probe 11 (250–275 cm), Probe 13 (300–325 cm), Probe 14 (325–350 cm)

Galgenberg 1989/Parz. 344: Qu. U1/89, obere Kulturschicht (Fnr. 750/4)

Techendorf, Weißensee-Brücke, Bohrung 1:

Boreal bis älteres Atlantikum

Ton mit Holzkohlesplittern

Ternitz:

Hochmittelalter bis subrezent

Fnr. 81+82 (Sig. 41), 348 (109: cf.), 371 (180), 393 (190), 411 (194a), 412 (194a), 743 (209+202), 775 (209–311), 815 (311), 818 (194a), 821 (202), 822 (202–194a) 913 (220), 1263 (470), 1319 (544), 1503 (409), 1672 (661), 1898 (749), 1990 (822)

Tropfsteinhöhle am Kugelstein:

Holozän

Schicht 1–5: gestörter Profilanteil (Schicht 1–3) und primäre holozäne Schichten (4–5)

Tunnelhöhle:

Jungholozän

Schicht 22-1: jüngster Schichtkomplex inkl. Planierschicht älterer Grabungen

Wetzleinsdorf:

Jungpleistozän: Mittelwürm

Profil II: Probe Nr. 9: untere Bodenbildung

Wien IV, Favoritenstraße:

Wahrscheinlich Mittelpleistozän

Proben Nr. 1 und 2: Löß, 3,5 m unter dem Straßenniveau

Willendorf i. d. Wachau:

Jungpleistozän

Probe Nr. 6: Humusanreicherung an der Basis von Einheit B

Probe Nr. 17: zwischen KS 3 und dem Beginn von Einheit D

Probe Nr. 19: Einheit D, 5,1–6,0 m

Probe Nr. 20: Einheit D, 6,0–6,2 m

Probe Nr. 21: Einheit D, 6,2–6,5 m

? *Aegopis (Ae.) croaticus* (FÉRUSSAC 1832)

Syn.: *Ae. carniolicus* (MOUSSON 1859)

(Taf. XLIII: 3–4; Karte 211)

Beschreibung nach BOLE (1983: 136–140, 151–152; Abb. 1–3; Herrn Dr. R. SLAPNIK, Laibach, danke ich für die Übersetzung des slowenischen Textes ins Englische sehr herzlich): Sehr veränderlich; 22–24 (26) mm B; die Mehrzahl der adulten Individuen 23 mm B. Höhe und Ausbildung einer Peripheriekante variieren stark, sowohl zwischen als auch innerhalb einer Population. BOLE (1983) sieht das H : B-Verhältnis [$H \times 100 : D$] als wichtiges conchologisches Bestimmungskriterium an; es liegt bei der Mehrzahl der von ihm vermessenen Populationen zwischen 40–60. Einige Populationen besitzen stark abgeflachte Schalen (mit einer Ratio von unter 40, z. B. bei Ribnica/Dolenjska: 35), gelegentlich sind sie aber hoch aufgewunden (Mt. Oštrej oberhalb Bosanski Petrovac: bis 68). Die Abflachung der

Schale hat vermutlich dazu geführt, dass etliche Autoren die betreffenden Individuen als „*compressus*“ beschrieben haben. – Die Kielung der Umgänge ist bezeichnend für *Ae. croaticus*. Am ersten Umgang ist der Kiel scharf, zum letzten hin wird er mehr stumpf und undeutlich; er trägt eine weiße Kiel-Linie. Umgänge oberseits nur schwach gewölbt, die Unterseite ist dagegen stark gerundet. Charakteristische Gitter-Skulptur aus dichten, regelmäßigen Rippenstreifen, die durch feine und dickere Spirallinien gekreuzt werden. – Anatomisch ist sie wenig variabel und als „gute Art“ abgrenzbar. Nach BOLE (1983) und RIEDEL (1998: 31) werden die folgenden Taxa als selbständige Arten angesehen: *Ae. (Ae.) septentrionalis septentrionalis* (KOBELT 1899) – Nordwestkroatien und Nordwestbosnien; *Ae. (Ae.) s. laughofferi* (A. J. WAGNER 1915) – Westkroatien (Velebit-Gebirge) und (*Ae. (Ae.) compressus* (ROSSMÄSSLER 1836) – Kroatien (Küstengebiet zwischen Rijeka und Obrovac). Synonymie, Artabgrenzung und taxonomischer Status bleiben aber strittig.

Ökologie wie *Ae. (Ae.) verticillus*.

Slowenien südlich von Postojna, Nordwestkroatien, Bosnien, Hercegowina.

Quartärverbreitung?

Karte 211



Fundstelle**Hundsheim:**

(Frühes) Mittelpleistozän

Probe Nr. 1 (Füllmaterial; zitiert nach PAPP 1955a; sub *Zonites croaticus*; Beleg verschollen)***Archaeogopis* WENZ 1914**

Linsenförmig, mit flach-konvex-kegelförmigem Gewinde. 2½ Embryonalwindungen, durch Spiral- und Radialstreifen gegittert. Folgende Umgänge sehr schwach gewölbt; scharf gekielt; der Kiel ist beiderseits durch eine ± deutliche Depression begrenzt, Naht verdeckend; Skulptur aus gebogenen Radialrippchen und feinen Spiralfurchen. Unterseite des letzten Umganges gewölbt, mit derselben, etwas abgeschwächten Skulptur. Ziemlich weit und offen genabelt; Mündung etwas breiter als hoch, Außenrand am Kiel scharf gewinkelt. Spindel senkrecht, bogig in den Basalrand übergehend.

Archaeogopis (Archaeogopis) WENZ 1914

17–40 mm B, etwa 6–7 Ugge. 2–2½ Embryonalwindungen; Umgänge mit Radial- und Spiralstreifen; Kiel der Umgänge beiderseits mit kräftiger Depression.

Europa; wenige Arten; oberes Oligozän (WENZ u. ZILCH 1959: 248).

***Archaeogopis (?) acutus* BINDER 1977**

(Taf. XLIII: 5–7; Karte 212)

4,8–5,1 mm H : 9,8–10,7 mm B; 4½–5 Ugge. Beschreibung nach BINDER (1977: 42; Taf. 13, Fig. 73, 75, 77): Stumpf-konisch mit schwach gewölbt, gleichmäßig wachsenden Umgängen. Ein deutlich abgesetzter Kiel ist sowohl an den inneren als an den äußeren Umgängen vorhanden; er ist durch seine zopfartige Skulptur sehr auffällig. Oberseite fein gerippt, mit schwachen Spirallinien; auch unterseits deutliche Radialrippchen. Nabel tief, kegelförmig; Mündungsaußenrand durch den Kiel zugespitzt; Mundrand scharf und nicht erweitert. – Von *Aegopis*-Arten durch die Proportionen, den kegelförmigen Habitus und die skulpturierte Unterseite unterscheidbar. L. typ.: Deutsch Altenburg 4; strat. typ.: „Fundsicht 4B, Altbiharium, Betfia-Phase (Altpleistozän)“.

Die Zuordnung zu der bis dato nur tertiär bekannten Gattung *Archaeogopis* ist vorbehaltlich; die skulpturierte Unterseite würde dafür sprechen.

Karte 212***Archaeogopis (?) acutus***

Fundstellen**Deutsch Altenburg:**

Altpleistozän: *M. pliocaenicus*-Zone, höheres Niveau

Hohlraumfüllung 2 C1

Altpleistozän: *M. pliocaenicus*-Zone

Höhlenfüllung 37

Altpleistozän: *M. praehintoni*-Zone

Schachtfüllung 4B

Altpleistozän

Kolkfüllung 43

Altpleistozän?

Spaltenfüllung 33

Neudegg:

Mittelplozän bis Ältestpleistozän?

mit Sand und Schotter vermischte Terra-rossa-Reste (cf.)

Aegopis sp. (nicht bestimmbar Juvenilschalen und Fragmente; Karte 213)

Fundstellen**Krems, Schießstätte:**

Mittelpleistozän

Probe KR 4/2: Paläoboden 4 (cf.)

Neudegg:

Mittelplozän bis Ältestpleistozän?

mit Sand und Schotter vermischte Terra-rossa-Reste

Nach brieflicher Mitteilung von A. RIEDEL (Warschau, 25. 6. 1993) ist die Zugehörigkeit der nachfolgenden Art zur Gattung *Aegopis* fraglich.

***Aegopis* (?) *klemmi* SCHLICKUM u. LOŽEK 1965**

(Taf. XLIII: 8–10; Karte 214)

8,0–11,0 mm H : 15,0–19,3 mm B; 6,4–8,7 mm Mdgh : 7,0–9,4 mm Mdgb; ca. 6 Ugge. (Holotypus: 10,0 mm H : 17,4 mm B; 7,8 mm Mdgh : 8,8 mm Mdgb). – Beschreibung nach SCHLICKUM u. LOŽEK (1965):

Die Art ist durch die mittelgroße, im Juvenilzustand stumpf gekielte Schale mit ungegitterter Oberseite gekennzeichnet. Festschalig, gedrückt-stumpfkönisch mit wenig erhobenem

Karte 213





Gewinde und gerundetem Apex. Adult etwa 6 oberseits flach gewölbte Umgänge, die durch eine seichte Naht getrennt sind und ziemlich unregelmäßige, stumpfe Rippenstreifen tragen. Auf der Unterseite nehmen diese ab. Die ersten drei Umgänge sind deutlich gekielt, die weiteren nur mit stumpfer, relativ rasch undeutlich werdender Kante. Mündung fast kreisrund und durch den vorletzten Umgang bogig ausgeschnitten; Nabel weit und steil, fast zylindrisch und etwa 1/6 des Schalendurchmessers betragend.

Das Fehlen der sonst für *Aegopsis*-Arten so kennzeichnenden Gitterskulptur der Oberseite ist das auffälligste Merkmal. Geringe Spuren von Spiralstreifen sind dicht am Kiel im Bereich des 3.–4. Umganges erhalten. Aufgrund der schwachen Radialsukulptur erscheinen die letzten Umgänge fast glatt und glänzend, Ober- und Unterseite gehen fließend ineinander über. Dies ist bei den übrigen *Aegopsis*-Arten nicht der Fall. Von der Schalenform und -größe her ist *Ae. verticillus* sehr nahe stehend, doch sind die Juvenilschalen von *Ae. verticillus* ausgesprochen scharf gekielt. Der Kiel geht bei dieser Art etwa an der Grenze 4./5. Umgang in eine deutliche Peripheriekante über, die erst im Verlauf des letzten Umganges undeutlich wird (s. oben). Es gibt auch schärfer gekielte Stücke, vor allem pleistozäne. *Ae. klemmi* ist nur auf

den ersten drei Umgängen deutlich gekielt, dann geht der Kiel in eine stumpfe, rasch auslaufende Kante über, der letzte Umgang ist völlig gerundet. Loc. typ.: „Hundsheimer ‚Höhle‘ bei Deutsch Altenburg, Niederösterreich“, strat. typ.: „Spätaltpleistozäne Ausfüllung der ‚Höhle‘ von Hundsheim mit jungbuharischer Säugerfauna“.

Die Art liegt auch aus Fundstellen Böhmens (Zlatý Kůň-Höhle bei Koněprusy/Süd-Schlot des Prošek-Domes), der Slowakei (Skalka bei Nové Mesto nad Váhom, „Höhle“) und Ungarns vor; zu den ungarischen Fundstellen siehe FŮKÖH, KROLOPP u. SŮMEGI (1995; 31, 46–51). Die tschechoslowakischen Fundstellen enthalten eine „spätaltpleistozäne Säugerfauna“, die dem „jüngeren Biharium sensu KRETZOI 1956“ entspricht; als wichtige Mollusken-Begleitart *Helicigona ťapeki* (PETRBOK). In Ungarn – Mónosbél nördlich von Eger liegt auch *Drobacia banaticum* (ROSSMÄSSLER) vor; an anderen ungarischen Fundstellen (Mittelpleistozän: unteres bis oberes Biharium) *Zonitoides sepultus*, auch *Soosia diodonta* (A. FÉRUSAC 1832). Nach DEHM (1971: 82–84; Fig. 16, 17) ist sie wahrscheinlich auch in einer pleistozänen Spaltenfüllung von Lobsing bei Neustadt/Donau enthalten, sowie in der („spät altpleistozänen“) Spaltenfüllung von Weißenburg 7 (= Steinbruch der Marmorwerke

Weißenburg; mit altbharischer Säugetierfauna). BIBUS u. RÄHLE (2003: 101, 103) wiesen sie in den mittelpleistozänen Enzschottern von Bietigheim-Bissingen (20–22,5 m über Enzniveau) nach. Ein weit von den bekannten Fundorten entfernt liegender Nachweis gelang LIMONDIN – LOZOUET (2001) in mittelpleistozänen alluvialen Ablagerungen in Soucy (Yonne-Tal, Frankreich).

Als Lebensraum wird eine „üppige Laubwaldvegetation“ bei ausgeprägt feucht-warmem Interglazialklima angenommen (DEHM 1971: 84).

Durch die bisherigen Funde eine Leitart des älteren bis mittleren Pleistozäns. Die Einstufung der Hundsheimer Fauna aufgrund der Kleinsäugerfauna ist frühes Mittelpleistozän (FRANK u. RABEDER 1997t: 272).

Fundstellen

Hundsheim:

(Frühes) Mittelpleistozän

Proben Nr. 1 (cf.) und 2 (Füllmaterial)

Krems, Schießstätte:

Ältestpleistozän

Probe KR 8/2: unter Paläoboden 8, nördlich der Stützmauer

Vitrinidae

Reduzierte, meist ohrförmige, dünne glasartig durchscheinende, schwach gefärbte Schale. Nur wenige, sich rasch erweiternde Umgänge; meist ungenabelt. Der Vorgang der allmählichen Rückbildung der Schale und ihre Einbettung in den Mantel lässt sich bei dieser Familie gut verfolgen („Vitrinisierung“, Abb. 98). Die Schale ist entweder gedrückt-kugelig und so geräumig, dass sich das Tier darin vollständig zurückziehen kann, oder sehr flach, ± ohrförmig und verkleinert, sodass nur ein geringer Teil der Eingeweide darunter liegt („Halbnacktschnecken“). Es gibt auch Arten ohne äußeren Schalenrest (Gattung *Plutonia* STABILE 1864; Azoren).

Mündung weit bis sehr weit, schief gestellt; der bogig ausgeschnittene Basalrand mit dünnem, einwärts gerichtetem, deutlich abgegrenztem Hautsaum (an fossilen Schalen nicht erhalten). Embryonalschale mit dichten Spiralreihen eingestochener Punkte (diese Skulptur kann sich manchmal etwas weiter fortsetzen); sonst dichte, unregelmäßige Spiralstreifung (×30; vielfach geglättet durch die beim lebenden Tier aufliegenden Mantellappen). Naht oft etwas rinnig. Schalen, die das Tier zur Gänze bergen können, sind fein geritzt genabelt.

Meist unter Laub und Steinen oder im Boden; nur in kühl-feuchten Gebieten ganzjährig, sonst nur während der kühlen Jahreszeit an der Oberfläche; vor allem die Jungtiere brauchen dauernd feuchtes Milieu.

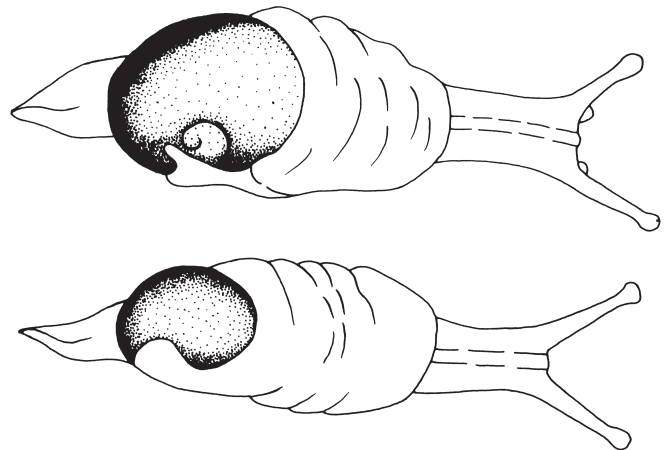


Abb. 98: Schalenreduktion bei Vitrinidae; oben: *Vitrina pellucida*; unten: *Semilimax semilimax*; nach WIKTOR (1984: p. 124: Abb. 4B, C).

Europa, Westasien, mittelatlantische Inseln, Ostafrika; eine Gattung auch in Nordamerika. – Seit dem Alttertiär. Einige Arten sind conchologisch nicht einwandfrei bestimmbar (Sektion erforderlich).

Semilimax AGASSIZ 1845

Semilimax (Semilimax) AGASSIZ 1845

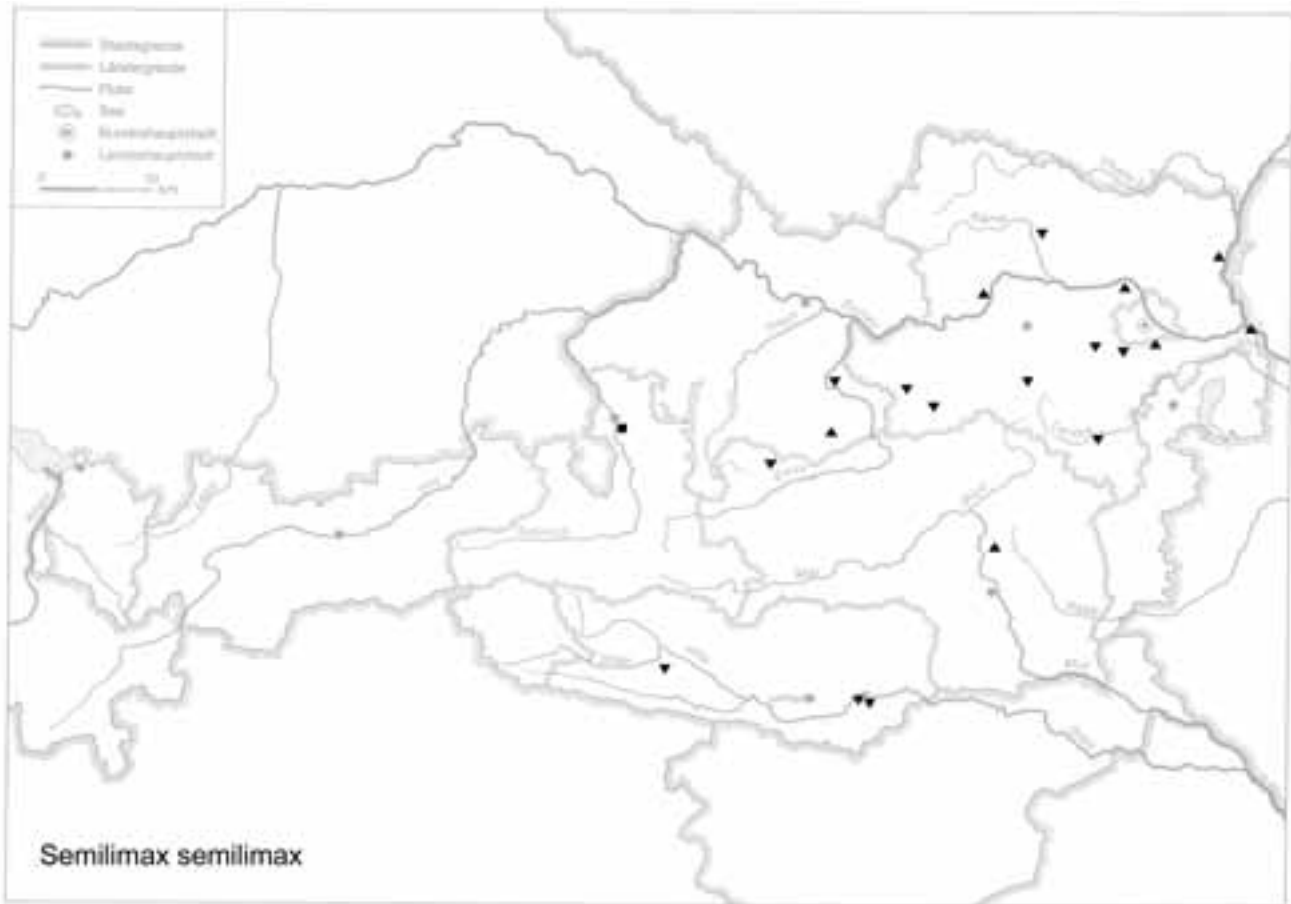
Schale ähnlich der von *Vitrinobranchium*; sehr flach, im Umriss nierenförmig; alle inneren Windungen bei axialem Einblick von unten sichtbar (stark strophostyl); etwa 2 Umgänge. Mündung sehr schief gestellt, der Horizontalen genähert.

West- und Mitteleuropa. – Ab dem oberen Untermiozän (Eggenburgium) bekannt [*Semilimax intermedius* (REUSS 1852); LUEGER 1981: 41–42; Taf. 5, Fig. 1a–b, 2–3].

Semilimax (S.) semilimax (J. FÉRUSAC 1802)

(Taf. XLIII: 11–12; Karte 215)

Etwa 2,4 mm H : 4–5 mm B; 1¼ bis 2 Uge. Im Umriss nierenförmig, schmal, stark gedrückt (H : größte B = 1 : 2,1); glänzend, schwach grünlich, sehr dünn und durchscheinend. Apex schwach kuppig vorragend. Embryonalwindung mäßig weit gepunktet (bei hoher Vergrößerung sehr deutlich sichtbar). Sehr fein gestreift (Streifung und mikroskopische Spiralstruktur teilweise ausgeglättet). Umgänge sehr rasch zunehmend; die Endwindung in Ansicht von oben etwa ¼ der größten Breite einnehmend; oben flach gewölbt, peripher breit gerundet, vorne etwas herabsteigend. Mündung sehr weit, quer-elliptisch, der Oberrand zur Ansatzstelle hin gut ausgebuchtet. Basis des letzten Umganges durch die weite Mündung stark eingeschränkt. Hautsaum breit, an der Schalenbasis schmaler werdend; er



erstreckt sich etwa $\frac{2}{3}$ eines Umganges rückwärts zur Spindel. – Formbeständig.

Hauptsächlich in Wäldern, an feuchten, schattigen Standorten, unter Steinen und in der Falllaubsschicht, vor allem montan; 160–2000 m.

Alpin-mitteleuropäisch; Pyrenäen, Alpen, Karpaten, deutsch-böhmische Mittelgebirge. In ganz Österreich verbreitet, aber in Tirol, Vorarlberg, Kärnten und Osttirol anscheinend weniger häufig.

Warmzeitlich; pleistozän-interglazial recht zahlreiche Fundmeldungen; holozän eher verstreut; etwa heutiges Areal.

Fundstellen

Abri von Elsbethen:

Allerödschwankung

Qu. 9ihS2, Qu. 9iT1T2, Qu. 9i(1)U1

Frühes Präboreal

Qu. 87.72.3

Präboreal, voll entwickelt

Qu. 9hK2, Qu. 9hL1, Qu. 9hL2, Qu. 8hM1, Qu. 8hM2

Boreal, voll entwickelt

Qu. 20iG1, Qu. 19l 19kG3(6), Qu. 19/20lG3(1)

Atlantikum

Qu. 6hE2, Qu. 6gF2, Qu. 6hH1, Qu. 6hH5

Allander Tropfsteinhöhle:

Mittelholozän

Höhlenlehm aus dem „Diebsversteck“, Höhe Schaukasten

Brettsteinbärenhöhle:

Frühholozän

Grabungsstelle 2

Deutsch Altenburg:

Altpleistozän: *M. prahintoni*-Zone

Schachtfüllung 4B

Altpleistozän: *M. nutiensis*-Zone

Schachtfüllung 4A

Gamssulzenhöhle:

Spätglazial

Fundstelle 1: Eingangshalle (150–165 cm/160–170 cm

Schichttiefe)

Georgiberg b. St. Kanzian:

Wahrscheinlich Mittelalter

I/Wallschnitt 2 (gelbe Schicht mit Konglomerat)

Gracarca:

Wahrscheinlich später als Latène

Zisterne (3, über anstehendem Konglomerat)

Große Badlhöhle:

Spätglazial

unterer (= Haupt-)Eingang: Schicht 4, 4a (Kleinsäuger-schicht)

Herdengelöhle:

Früheres Mittelholozän

Probe 3: Eingangsbereich, Entkalkungshorizont

Hinterbrühl, Schneckenkluff:

Epiatlantikum

Füllmaterial

Hirschenfallhöhle:

Mittelholozän

Wurzeldom:

Probe Nr. 1 (grobes, sinteriges Material)

Probe Nr. 6 (grobes Material)

Hohenberg, „Steinbruch“:

Präboreal

Fundsicht SE 4

Kamegg (TRNKA):

Epiatlantikum

Grabung 1981, Schn. 1, Lfm. 58–59, Plan. 2–3, Gra. II (Nr. 57)

Nixloch:

Aus rezenten Störungen

Qu. K8

Subrezent?

Qu. K?

Stillfried, Westwall:

Jungpleistozän

Ofen, Verf. 1 (Fnr. 7568/1978)

Techendorf, Weißensee-Brücke, Bohrung 1:

Boreal bis älteres Atlantikum

Ton mit Holzkohlesplintern

Ternitz:

Hochmittelalter bis subrezent

Fnr. 411 (Sig. 194a)

Wien XIX, Heiligenstadt/Nußdorf:

Jüngeres Mittelpleistozän

Profil I:

Probe Nr. 3: 14 m über Straßenniveau

Wienerberg:

Altpleistozän?

Sumpflöß und Aulehm

Willendorf i. d. Wachau:

Jungpleistozän

Probe Nr. 6: Humusanreicherung an der Basis von Einheit B

Probe Nr. 19: Einheit D, 5,1–6,0 m

Probe Nr. 20: Einheit D, 6,0–6,2 m

Probe Nr. 21: Einheit D, 6,2–6,5 m

***Semilimax (S.) carinthiacus* (WESTERLUND 1886)**

(Taf. XLIV: 1–2; Karte 216)

Etwa 2,2 mm H : 4,3–4,8 mm B; $2\frac{1}{8}$ Ugge. Ähnlich der Schale von *Vitrinobrachium breve*; durch die größere Zahl der Umgänge und durch die stärkere Wölbung der inneren Umgänge verschieden. Endwindung wenig erweitert; Apex erhaben. Embryonalschale $1\frac{1}{8}$ Umgänge; keine Spiralstruktur.

Ökologie noch wenig bekannt, aber wahrscheinlich ähnlich der vorigen, 220–1700 m.

Südostalpin; auch in Slowenien. In Österreich nur von wenigen Standorten bekannt, vor allem in Kärnten verbreitet; einige Vorkommen am Alpenostrand von Wien bis in die Grazer Umgebung, isoliert am Brenner (Tirol). Nur anatomisch sicher diagnostizierbar.

Quartärverbreitung?

Fundstellen**Hohenberg, „Steinbruch“:**

Subboreal bis Subatlantikum

Fundsicht SE 9 (cf.)

Techendorf, Weißensee-Brücke, Bohrung 1:

Boreal bis älteres Atlantikum

Ton mit Holzkohlesplintern

***Semilimax (?) kochi* (ANDREAE 1884)**

(Abb. 99; Taf. XLIV: 3–4; Karte 217)

In ZILCH (1979: 85) als „*Semilimax*“ geführt. Etwa 3,1 mm H : 5,6 mm B; $2\frac{1}{2}$ Ugge. Kurz-ohrförmig, wenig gedrückt; Gewinde sehr flach konisch erhoben (H : größte Breite = 1 : 1,8). Embryonalwindung relativ weit gepunktet; ansonsten ± gestreift (an der Naht nicht kräftiger); mikroskopische Spiralstruktur im Nahtbereich sehr deutlich. Letzter Umgang von der Naht aus mehr gewölbt und rasch abgebösch, wenig gedrückt, auch nach unten mehr erweitert als bei der sonst sehr ähnlichen *Euobresia nivalis* (DUMONT et MORTILLET 1852); gegen die Mündung deutlich absteigend. Naht kaum rinnig; die Nahtzone gelegentlich durch eine feine, erhabene Linie begrenzt. Mündung kurz-querelliptisch, in der Breite etwa $\frac{3}{4}$ des größten Durchmessers einnehmend; ihr Oberrand gegen den Ansatz hin etwas ausgeschweift, in der Mitte herabgebogen. Hautsaum weniger als $\frac{1}{4}$ der Breite der Umgangsbasis einnehmend.

Rezent angeblich mehrfach mit *E. nivalis* gemeinsam vorkommend (EHRMANN 1956: 101; „wohl zuweilen mit ihr verwechselt“). Diese lebt im Hochgebirge; in Alpenrasen, unter Steinen; oft auch am Schnee. – Nach SCHLESCH (1941) tief unter Steinen, sehr schattiger Lebensraum mit Ahorn und Tanne, sowie „krautige niedere Pflanzen“. Ca. 950–1000 m (Karwendelgebirge). – Rezente Angaben beziehen sich nach JAECKEL, S. G. A. (1962: 123) auf *S. carinthiacus*

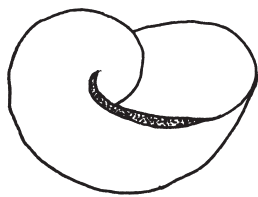
Karte 216



Karte 217



Abb. 99: (?) *Semilimax kochi*
(ANDREAE 1884); aus BROH-
MER, EHRMANN u. ULMER
(1956: p. 101: Abb. 69).



bzw. auf *E. nivalis* [u. a. von FRANKENBERGER 1915: 462–463 – Böhmisches Masse, SCHLESCH 1941 – Karwendelgebirge, EHRMANN 1956: 101 – Ostsudeten, Beskiden, Tatra, Ostalpen (auch aus Ober- und Niederösterreich: Lawenstein bzw. Schneeberg gemeldet), Allgäuer Alpen; südliche Ostalpen].

In KERNEY, CAMERON u. JUNGBLUTH (1983: 155) wird „*Vitrina kochi* ANDREAE“ als nicht identisch mit *E. nivalis* angesehen. GROSSU (1983: 73–74) stellt sie in deren Synonymie; LUEGER (1981: 42) spricht sich für eine mögliche Identität mit *S. semilimax* aus, doch ist letzteres unwahrscheinlich.

Bekannt aus dem Mittelpliozän Ostfrankreichs (Cessey-sur-Tille, Côte d’Or), dem Altpleistozän von Bayrisch Schwaben (Uhlenberg D: 1 und 2, Buch, Fischach); weiters in vermutlich tegelenzeitlichen Rheinablagerungen (Gambshheim, nördliches Elsaß und verschiedene Fundstellen des älteren Mittelpleistozäns (Alzenau, Unterfranken/Ilm-Ablagerungen bei Süßenborn/Mosbacher Sande bei Wiesbaden/Rheinsande von Achenheim und Hangenbieten- von hier auch beschrieben/nördliches Elsaß); RÄHLE u. BIBUS (1992: 332), RÄHLE (1995: 110).

In warm- und kaltzeitlichen Kontexten.

Fundstelle

Neudegg:

Mittelpliozän bis Ältestpleistozän?

mit Sand und Schotter vermischte Terra-rossa-Reste (cf.)

Semilimax (Hessemilimax) SCHILEYKO 1986

Breit-ohrförmig; Ausbuchtung am Schalenoberrand un-
deutlich; stark strophostyl; < 2 Umgänge. – Zur Terminologie der Typusart *kotulae* siehe FALKNER (1990: 102).

Ab Pleistozän.

Semilimax (H.) kotulae (WESTERLUND 1883)

(Taf. XLIV: 5–8; Karte 218)

2,2–2,5 mm H : 4,3–6 mm B; 1¼–2 Uge. Breit-ohrförmig, stark gedrückt (H : größte B = 1 : 2); Gewinde 2/5 des größten Durchmessers einnehmend, ganz eingeebnet. Sehr dünn, durchscheinend, glatter und glänzender als *S. semilimax*; grünlichgelb; mit schwacher, ausgeglätteter Streifung und verwaschener Feinstruktur. Umgänge rasch zu-

nehmend, der letzte oben gut gewölbt, peripher gerundet und vorne wenig herabsteigend. Naht gegen die Mündung von einer Rille begleitet Mündung sehr geräumig, fast die ganze Unterseite einnehmend, ihre Ebene der Horizontalen genähert. Sehr stark strophostyl; bei axialem Einblick von unten die inneren Windungsteile völlig freiliegend. Hautsaum breiter als bei *S. semilimax*, spiralförmig sehr viel weiter einwärts laufend, dabei die Spindel frei lassend, sodass die Umgänge bis zum Apex sichtbar bleiben (s. o.). Basis des letzten Umganges auf einen schmalen Rand beschränkt. Ausbuchtung am oberen Mündungsrand nur ± angedeutet. – Formbeständig.

Kühle, feuchte, schattige Standorte montaner Wälder; unter Steinen und in der Bodenstreu; wenig bekannt; 500–2800 m.

Alpin-karpatisch-sudetisch; wahrscheinlich häufiger als bekannt; nördlich der Alpen von Thüringen bis zum Bayerischen Wald, über die Sudeten, Karpaten bis in die Transsylvanischen Alpen; von der Schweiz bis zum Alpenostrand bzw. nach Südtirol; siehe KLEMM (1974a: 219, Karte 62), KERNEY et al. (1983: 153, Karte 149). Aus allen österreichischen Bundesländern vereinzelt gemeldet; etwas häufiger in Nord- und Osttirol.

Überwiegend kaltzeitliche jungpleistozäne und altholozäne Kontexte; über das heutige Areal hinausreichend. – Leitart der „*Semilimax kotulai*-Subzone“ (25.000–1.000 a BP); KROLOPP u. SÜMEGI (2002), ÚJVÁRI (2002a, b).

Fundstellen

Abri von Elsbethen:

Präboreal, voll entwickelt

Qu. 8hM1

Alberndorf:

Jungpleistozän

Probe Nr. 7: Sektor J, Lfm. 17, Plan. 3–4 (obere Sedimentationsrinne; Nr. 1456)

Brettsteinbärenhöhle:

Mittelholozän

Grabungsstelle 1

Großriedenthal:

Jungpleistozän

Probe Nr. 3: Rote Verlehmungszone (rechts der Straße)

Probe Nr. 4: Am Weg nach Gösing; Löß

Großrußbach:

Jungpleistozän: Spätwürm

Grabung 1997, Schn. 1, Gra. I, UK von Sch. 4 (Fnr. P505)

Großweikersdorf:

Jungpleistozän

Probe Nr. 1: Kulturschicht („Großweikersdorf C“)

Kollnbrunn:

Subboreal/frühbronzezeitlich, jungpleistozän vermischt

Graben II, Schn. 1, AB-Profil (Proben 8, 11)

Schichtkomplex D: Probe Nr. 18 (Zone mit Wurzelspuren)

Stillfried, Westwall:

Jungpleistozän

N-Profil des 2. Wallschnittes (1974; vom nacheiszeitlichen Humus durch den liegenden Löß bis 1,60 m unter der Lößoberkante): Schicht 8 (0–20 cm unter Lößoberkante)

Stillfried, Typusprofil:

Jungpleistozän

Profil II: Probe Nr. 14: 20–40 cm Löß oberhalb des „Stillfried-B“-Horizontes

Probe Nr. 15: 40–60 cm Löß oberhalb des „Stillfried-B“-Horizontes

Probe Nr. 16: 60–80 cm Löß oberhalb des „Stillfried-B“-Horizontes

Stillfried, Neuaufnahme des „Stillfried B“-Horizontes von Typusprofil II (durch STADLER 1996):

Jungpleistozän

Probe Nr. 1: 0–20 cm unterhalb der Bodenoberkante

Probe Nr. 2: 20–40 cm unterhalb der Bodenoberkante

Stranzendorf:

Oberpliozän

Lößpaket L/M

Stratzing/Krems-Rehberg:

Jungpleistozän

Galgenberg 1989/Parz. 344: Qu. U1/89, obere Kulturschicht (Fnr. 750/4)

Weinsteig:

Jungpleistozän

Probe Nr. 1: aus der Nordwand, über der Braunerde

Wetzleinsdorf:

Jungpleistozän: Mittelwürm

Profil I:

über dem Übergangsbereich zwischen Verlehmungszone und Schwarzerde:

Löß: Probe Nr. 24: 200–220 cm, Probe Nr. 25: 220–240 cm, Probe Nr. 26: 240–260 cm, Probe Nr. 27: 260–280

Willendorf i. d. Wachau:

Jungpleistozän

Probe Nr. 4: 10–20 cm unter KS 8

Probe Nr. 10: 10–30 cm oberhalb KS 5

Probe Nr. 11: 0,5–15 cm oberhalb KS 5

Probe Nr. 14: 25–50 cm unter KS 5

Probe Nr. 15: 50–75 cm unter KS 5

Probe Nr. 18: KS 3

Probe Nr. 21: Einheit D, 6,2–6,5 m

***Vitrinobrachium* KÜNDEL 1929**

Schale ähnlich der der Gattung *Semilimax* AGASSIZ 1845; etwa 2 Umgänge (das Tier kann sich nicht ganz in der Schale bergen); der letzte an der Mündung 3/5–2/3 der

Gesamtbreite einnehmend; Schalenurmriss nierenförmig; Mündung sehr schief.

Alpen und benachbarte Gebiete. – Ab Pleistozän.

***Vitrinobrachium breve* (A. FÉRUSSAC 1821)**

(Taf. XLIV: 9–12; Karte 219)

Etwa 2,7 mm H : 5–5,6 mm B; 1¼–2 Ugge. Breit ohrförmig, stark gedrückt (H : größte B = 1 : 2); glänzend, schwach grünlich, stark durchscheinend. Von der Naht her fein und verloschen gestreift, Spiralskulptur fast ausgeglättet; Embryonalschale sehr eng gepunktet. Bei Ansicht von unten auf die Mündung ist ein axialer Einblick gegen den Apex nicht möglich (schwach strophostyl). Apex etwas kuppig vorragend; die Umgänge sehr rasch zunehmend, letzter oben flach gewölbt, peripher breit gerundet; nahezu 2/3 der Gesamtbreite einnehmend (Ansicht von oben); mit der Nahtzone breit-saumartig an den vorletzten anliegend. Mündung sehr weit, fast horizontal, quer-eiförmig; Ober- und Unterlippe gegen die Ansatzstelle schwach, doch deutlich ausgebuchtet. Hautsaum schmal (1/4 so breit wie die Umgangsbasis, nach innen erstreckt er sich weniger als einen halben Umgang weit zur Spindelbasis. – Anatomische Bestätigung wäre erforderlich.

Mesophil; gelegentlich in feuchten Hang-Mischwäldern; eindeutige Präferenz für niedere Lagen im Gebiet der Stromtäler. Dort im Bereich der Auen, Hochwasserrinnen und Altarme in buschreichen Saumgesellschaften, ufernahen Waldrändern, in Bruchwäldern, Staudenfluren, Feldgehölzen, grasig-krautigen Böschungunterkanten und Ruderalfluren; außerdem auf feuchten Hangwiesen und Böschungen, an Felldrainen, Heckensäumen, Streuwiesen, Magerrasen, Acker- und Weinbergbrachen, in Hochstaudenfluren in Bachauen, Hangquellmooren; auch in Xerothermstandorten (Felsfluren, Trockenrasen). Die meisten Biotope unterliegen größerer Standortsdynamik (natürlich bzw. anthropogen bedingt), daher ist sie vermutlich leicht verschleppbar und besiedelt erfolgreich Sekundärbiotope (Gartenanlagen, Schuttplätze, usw.) Ganzjährig aktiv; Adulte vorwiegend nachts; im Winter, bei Frostfreiheit auch unter geschlossener Schneedecke (BECKMANN u. LILL 2001: 62–63).

West-mitteuropäisch; fehlt in Spanien, Belgien, Großbritannien, Polen, Rumänien, Ungarn und im ehemaligen Jugoslawien. Vereinzelt Vorkommen in Frankreich, Italien (vom Piemont bis zur Lombardei), den Niederlanden (Rhein bei Millingen, Gelderland), Österreich [1 Genistfund von Neukirchen a. d. Enknach, Oberösterreich: BECKMANN 1989/Vorarlberg – B. STUMMER 1996: Pfänderstock (Bregenz), Rheintal (Koblach; Kummenberg und Frutzbach); nach RENKER et al. 2000: 166–167 auch Kärnten – umstritten, doch nicht unwahrscheinlich, da im angrenzenden Nordostslowenien nachgewiesen], Schweiz (zwei Teilareale: vom Neuenburger Jura und vom Berner Nordalpen-



rand nord- und nordostwärts bis Basel bzw. zum Tessin; in Graubünden fraglich), Tschechien; Hauptareal von Süd-deutschland (mit einzelnen Vorkommen im Bodenseegebiet und Oberrheintal) über das Mittelrheintal bis zum Niederrhein. Zahlreiche Vorkommen im Baden-württembergischen Neckargebiet; im östlich angrenzenden Mittelfranken bei Ansbach; in Südbayern (Isartal, Berchtesgadener Land). – Offenbar in Ausbreitung begriffen (detaillierte Angaben in KOBIALKA 1997, 1999 – Weserbergland; RENKER et al. 2000 – Thüringen; BECKMANN u. LILL 2001).

Möglicherweise sind in „*Vitrinobrachium breve*“ 2 Arten vereinigt: Im gesamten nördlichen Areal (= südwestdeutsche Mittelgebirge und Alpennordrand) vorherrschend eine „typische, große Form“ mit eher gelblicher Schale, expansive Kulturfolgerin (viele bayerische Funde; synanthrope Ausbreitung in Südwestbayern; an der unteren Iller (oberhalb Wangen, Eschen-Erlen-Auwald) und an anderen Orten (obere Iller, München, Vorarlberg, Ostschweiz) eine „kleine Form“ mit eher grünlicher Schale, die im Vergleich zur „großen“ stärker gewölbt ist, mit mehr vorstehendem Apex und relativ kleinerer Mündung. Beide sind auch anatomisch verschieden (hierzu BECKMANN u. LILL 2001: 63–64; mit Literaturhinweisen). Für den Alpensüdrand: Tessin

(Schweiz) wurde *Vitrinobrachium tridentinum* FORCART 1956 beschrieben. Die anatomische Untersuchung an Material aus Rovio (Tessin) ergab aber *V. breve* (TURNER et al. 1998: 425; zit. ex. BECKMANN u. LILL 2001).

Vermutlich warmzeitlich; nur spärliche, eindeutige pleistozäne und holozäne Funde: Postglazialer Kalktuff aus Oberfranken; pleistozäne Deckenschotter im Kanton Zürich; pleistozäne Hochflutlehme der älteren Deckenschotter am Irchel (Kanton Zürich, alle: BECKMANN u. LILL 2001: 62); nach JAECKEL, S. G. A. (1962: 121) Mosbach/Wiesbaden: älteres Mittelpleistozän; schwäbisch-bayrische Hochfläche (altpleistozän: Fischach, Buch, Tutting); nach RÄHLE (1995: 107, 113–114) vom Uhlenberg D (Deckenschotter des Iller-Lech-Gebietes; nach der Kleinsäugerfauna: *Lagurodon-Villanyia*-Zone, entspricht „etwa dem Tegelen“; die Mollusken mindestens spätes Tegelen); nach LOŽEK (1964b: 241; Taf. XIV/4ab) Stránska Skála bei Brünn (Mähren; Altpleistozän). Im Pleistozän offenbar weiter als heute verbreitet.

Fundstellen

Deutsch Altenburg:

Altpleistozän: *M. prahintoni*-Zone
Schachtfüllung 4B (cf.)

Hundsheim:

(Frühes) Mittelpleistozän
 Probe Nr. 2 (Füllmaterial: cf.)

Krems, Schießstätte:

Mittelpleistozän
 Probe KR 4/1: unter der Oberkante von Paläoboden 4 (cf.;
 zitiert nach LOŽEK 1976d: 86)

Vitrinobrachium sp. (fragliche, schlecht erhaltene Schalen;
 Karte 220)

Fundstellen**Neudegg:**

Mittelplozän bis Ältestpleistozän?
 mit Sand und Schotter vermischte Terra-rossa-Reste

Stranzendorf:

Mittelplozän
 unterhalb von Rotlehm A (= A')

***Eucobresia* H. B. BAKER 1929**

Im Umriss elliptisch bis oval; Mündung schief; Hautsaum
 relativ breit. $2\frac{1}{2}$ Umgänge, der letzte $\frac{1}{2}$ – $\frac{3}{5}$ des größten

Durchmessers einnehmend. Im Vergleich zu *Vitrina* stark
 gedrückt; die Umgänge rascher anwachsend. Das Tier kann
 sich nicht vollständig in der Schale bergen.

Südliches Mitteleuropa; Schwerpunkt Alpen. – Ab Pleis-
 tozän.

***Eucobresia diaphana* (DRAPARNAUD 1805)**

3,2–3,3 mm H : (6) 6,3–6,7 mm B; $2\frac{1}{2}$ – $2\frac{1}{3}$ Ugge. Ohr-
 förmig, stark gedrückt, Gewinde fast oder ganz eingeebnet;
 sehr dünn, glatt, hochglänzend, grünlich-glasig. Embryo-
 nalwindung mit relativ weit voneinander entfernt stehenden
 Punkten; sonstige Oberfläche unregelmäßig und verwa-
 schen (nur an der Naht kräftiger) gestreift, die Streifen oft
 als feine, weißliche Linien erkennbar. Auch die Spiralskulp-
 tur fast ausgeglättet. Völlig strophostyl; bei axialem Einblick
 von unten sind alle inneren Windungen knapp sichtbar.
 Umgänge wenig gewölbt, der letzte in Ansicht von oben
 mehr als die Hälfte des größten Durchmessers einnehmend;
 peripher gut gerundet, bei Adultschalen gegen die Mündung
 leicht absteigend. Naht sehr seicht rinnig, die Rinne außen
 von einer fein-kantigen Erhöhung begleitet. Mündung groß,
 quer- oval, etwa $\frac{3}{4}$ des größten Durchmessers einnehmend,
 der Oberrand gegen die Ansatzstelle hin oft ein wenig aus-

Karte 220



gebuchtet. Hautsaum etwa $\frac{1}{3}$ bis $\frac{1}{2}$ so breit wie die Basis des zugehörigen Umganges; er erstreckt sich etwa 1 Umgang einwärts gegen den Apex, gegen den Mündungsaußenrand verschmälert er sich allmählich. – Größe und Breite des Hautsaumes etwas veränderlich.

An mäßig feuchten, kühlen Standorten, in Wäldern, Talauen, Krautbeständen, zwischen Steinschutt; hauptsächlich montan, 300–2700 m, lokal auch darüber (bis 3000 m; JAECKEL, S. G. A. 1962: 123).

Alpin-mitteuropäisch; von den Pyrenäen bis zum Nordwestbalkan, mit alpinem Schwerpunkt, zerstreut bis nach Norddeutschland. In ganz Österreich mit Lücken verbreitet.

Sehr vereinzelte jungpleistozäne und holozäne Fundmeldungen; heutiges Areal; JAECKEL, S. G. A. (1962: 124); LOŽEK (1964b: 239); in warm- und kaltzeitlichen Kontexten.

Die Fragmente aus den nachfolgenden Fundstellen konnten nicht eindeutig zugeordnet werden; im Falle der Zugehörigkeit zur Gattung *Eucoberesia* handelt es sich vermutlich um *E. diaphana*.

Fundstellen

Abri von Elsbethen (Taf. XLIV: 13–14; Karte 221; *Eucoberesia* sp.):

Präboreal, voll entwickelt

Qu. 8hN1N2O1 (cf.)

Braunsberg, Hainburger Berge:

Jungholozän; ältere Hallstatt- und jüngere Latènezeit, 2. bis 1. Jhdt. v. Chr.

Wallschnitt 6:

S-Profil: Lfm. 6,14/+70 cm (Fnr. 1704)

Wallschnitt 5:

Hallstatt, über gewachsenem Boden –15–20 cm unter 1990/1 (Fnr. 1990/2)

Kamegg (TRNKA):

Epiatlantikum

Grabung 1981, Schn. 1, Lfm. 18, Plan. 4–5, Gra. I (Nr. 90)

Grabung 1988, Schn. 25: Bpr. 90 (Nr. 882)

Salzofenhöhle:

Würmzeitlich

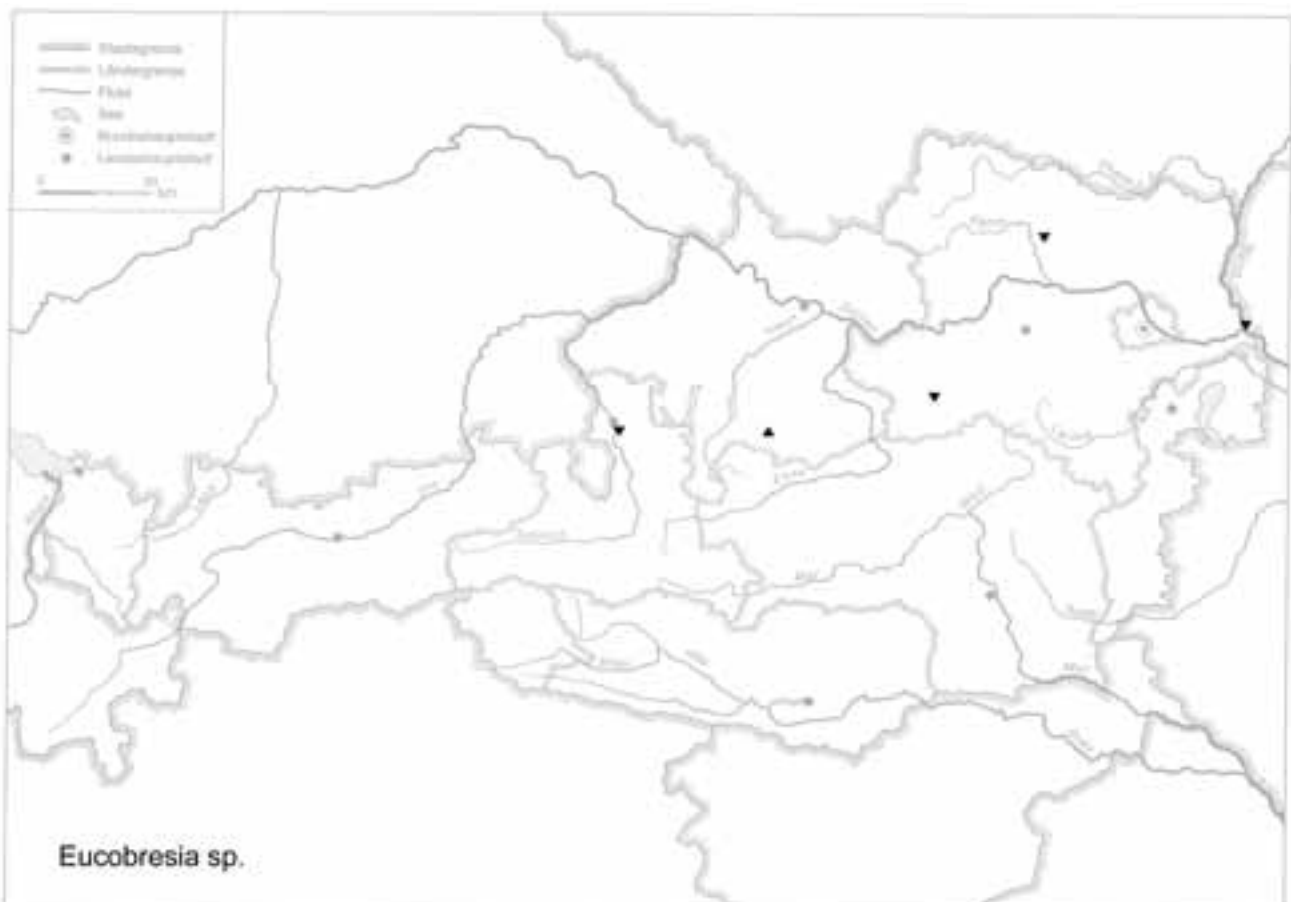
Probe Nr. 5 („Nagetierschicht Ic“)

Schwabenreithöhle:

Jungholozän

Grabungsstelle 1: Wolkengang

Karte 221



***Vitrina* DRAPARNAUD 1801**

Gedrückt-kugelig, mit deutlich flachkonisch erhobenen Gewinde; fast glatt; das Tier kann sich ganz in die Schale zurückziehen. Mündung relativ wenig schief; ohne Hautsaum. Nicht strophostyl.

Holarktisch. – Ab Pleistozän.

***Vitrina pellucida* (O. F. MÜLLER 1774)**

(Taf. XLV: 1–5; Karte 222)

Etwa 3,4 mm H : 4,5–6 mm B; (2½) 3–3½ Uge. Gedrückt-kugelig; Gewinde ± erhoben, konisch, es nimmt in Ansicht von oben mehr als die Hälfte des größten Durchmessers ein. Glatt, hochglänzend, sehr dünn und durchscheinend, schwach grünlich; unregelmäßig und verloschen gestreift (an der Naht kräftiger), mit mikroskopisch feinen, unregelmäßigen, welligen, oft verwaschenen Spirallinien. Embryonalschale glatt, mit feinen, eingetieften, mäßig voneinander entfernten Punkten. Umgänge oben mäßig, unten stärker gewölbt; der letzte gerundet, an der Mündung oft etwas absteigend. Naht seicht rinnenförmig; Mündung rundlich, ohne Hautsaum (oder nur mit einer Andeutung); Nabel sehr eng, offen. – In Größe und Gesamtform variabel (kleine, relativ hochgewundene Lokalformen sind hoch-

alpin; bzw. etwas größere, etwa 7 mm B, mit mehr gedrücktem Gewinde und leicht faltenstreifiger Oberfläche).

An zahlreichen mäßig feuchten Standorten verschiedener Art, in Wäldern und Wiesen, in Gebüsch und Heckenstreifen, zwischen Gras, Baumwurzeln und Steinen, an trockenen Lößhängen mit Robinien und Eichen-Hainbuchenbeständen, in halboffenen Rasenstandorten; 120–3100 m.

Holarktisch; in fast ganz Europa, bis Mittelasien. In Österreich ziemlich gleichmäßig verbreitet.

Wahrscheinlich eher warmzeitlich; verstreute pleistozäne und holozäne Angaben; heutiges Areal.

Fundstellen**Abri von Elsbethen:**

Ältere Dryas

Qu. 9ijU2, Qu. 9jX2(3)

Allerödschwankung

Qu. 9iR2, Qu. 9ihS1, Qu. 9ihS2, Qu. 8iS2, Qu. 9iT1T2, Qu. 9i(1)U1

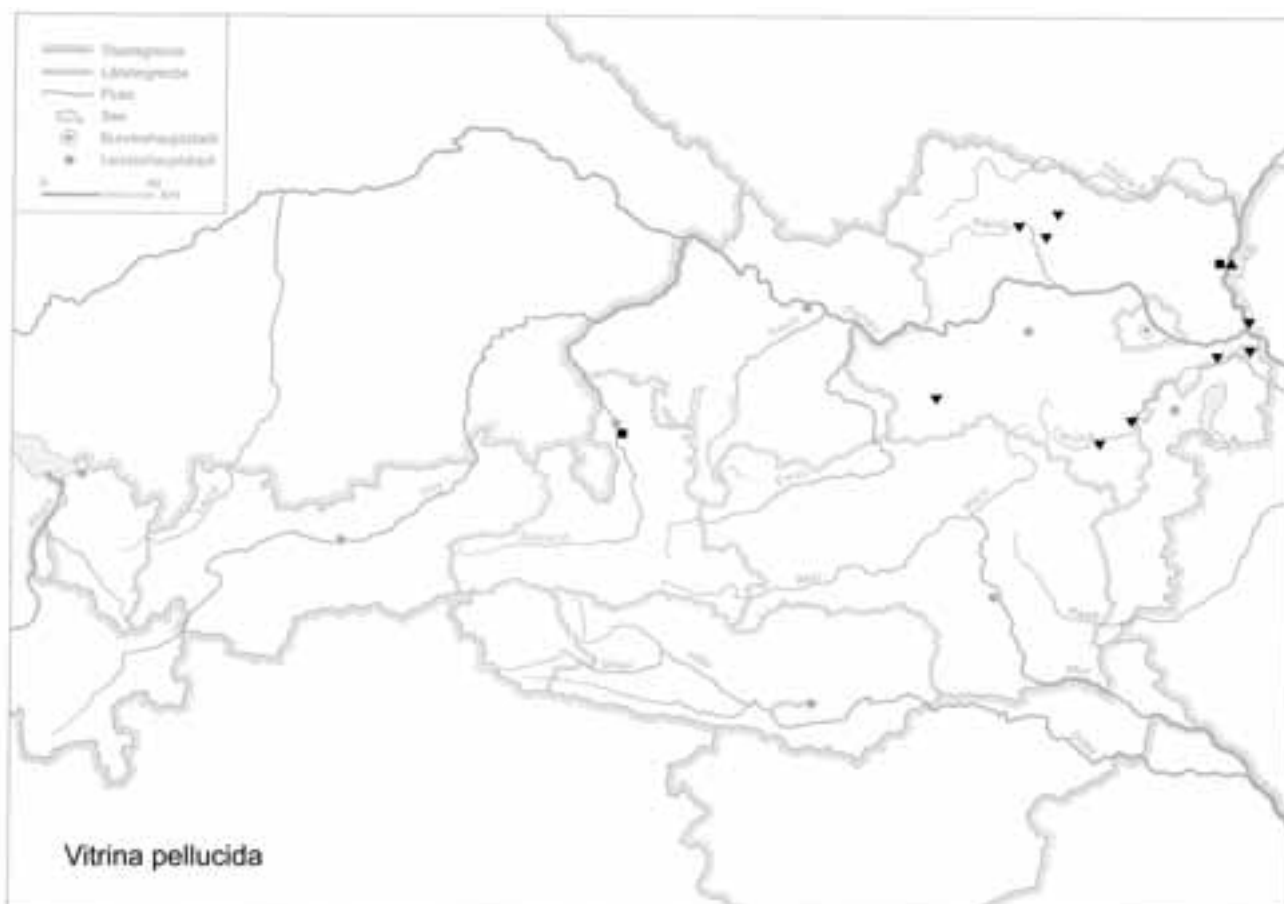
Allerödschwankung?

Qu. 20jH3 (oranger Brandhorizont)

Frühes Präboreal

Qu. 87.72.3

Karte 222



Präboreal, voll entwickelt

Qu. 9hL1, Qu. 9hL2, Qu. 8hM1, Qu. 8hM2

Präboreal, ausklingend

Qu. 20kF3(2)

Braunsberg, Hainburger Berge:

Jungholozän; ältere Hallstatt- und jüngere Latènezeit, 2. bis 1. Jhdt. v. Chr.

Wallschnitt 6:

0–15 cm unter HOK (Humus); Lfm. 0–2 (Fnr. 1400) (subrezent bis rezent)

Plan. 2–3; –35 bis –45 cm unter HOK, Lfm. 2,80–3,30 (Fnr. 1437)

Plan. 3; Lfm. 3 (Fnr. 1460), Lfm. 7 (Fnr. 1461)

Plan. 4; Lfm. 3 (Fnr. 1495), Lfm. 5,4: dunkle Verf. (Fnr. 1496)

Plan. 5; Lfm. 2,20 (Fnr. 1526), Lfm. 6 (Fnr. 1527), Lfm. 9 (Fnr. 1530), Lfm. 16,5 (Fnr. 1535)

Plan. 6; Lfm. 4: Gräbchen (Fnr. 1557), Lfm. 6: Pfl. (Fnr. 1558), Lfm. 10: Pfl. (Fnr. 1560), Lfm. 11: Pfl. (Fnr. 1561), Lfm. 15 (Fnr. 1562)

Plan. 7; Lfm. 6,50 (Fnr. 1583), Lfm. 7,70 (Fnr. 1584), Lfm. 10: dunkle Verf. = Pfl. in Pfg. (Fnr. 1585), Lfm. 11: braune Schicht (Fnr. 1586), Lfm. 13: Verf. (Fnr. 1587)

Plan. 8; Lfm. 6 (Fnr. 1605), Lfm. 6,50 (Fnr. 1606), Lfm. 7,40: Pfl. (Fnr. 1607), Lfm. 8 (Fnr. 1608), Lfm. 8,60 (Fnr. 1609), Lfm. 8,70 (Fnr. 1610), Lfm. 10,20: hell verflockte Verf. (Fnr. 1611), Lfm. 12,40: braune Verf. (Fnr. 1613)

Plan. 9; Lfm. 5,30 (Fnr. 1638), Lfm. 9 (Fnr. 1640), Lfm. 10,70 (Fnr. 1641), Lfm. 10,60 (Fnr. 1642), Lfm. 13 (Fnr. 1643)

Plan. 10; Lfm. 6,50 (Fnr. 1664)

N-Profil: Lfm. 10,4: 240 cm v. oben (Fnr. 1733), 210 cm v. oben (Fnr. 1734), 160 cm v. oben (Fnr. 1735), 140 cm v. oben (Fnr. 1736), 110 cm v. oben (Fnr. 1737), 60 cm v. oben (Fnr. 1739)

S-Profil: Lfm. 4/+14 cm (Fnr. 1688), 4/+75 cm (Fnr. 1690); Lfm. 6,16/–5 cm (Fnr. 1697); Lfm. 6,13/–22 cm (Fnr. 1698); Lfm. 6,14/–40 cm (Fnr. 1699), 6,14/+115 cm (Fnr. 1705), 6,14/+142 cm (Fnr. 1706); Lfm. 8,10/+4 cm (Fnr. 1710), 8,10/+30 cm (Fnr. 1711), 8,10/+60 cm (Fnr. 1712), 8,10/+85 cm (Fnr. 1713); Lfm. 10/–110 cm (Fnr. 1717), 10/–65 cm (Fnr. 1718), 10/–35 cm (Fnr. 1720), 10/Maßlinie (Fnr. 1721), 10/+40 cm (Fnr. 1722); Lfm. 10/+60 cm –50 cm unter HOK (Fnr. 1723), 10/+92 cm –20 cm unter HOK (Fnr. 1724); Lfm. 13,80/+35 cm –50 cm unter HOK (Fnr. 1729), 13,80/+55 cm –70 cm unter HOK (Fnr. 1730); Lfm. 10,5/–140 cm –140 cm unter HOK (Fnr. 1741)

Carnuntum Zivilstadt (JOBST):

Römerzeitlich (1. Jhdt. bis ca. Anf. 5. Jhdt. n. Chr.)

Aushub vom Grund einer frisch gegrabenen Künette, rechts

von der Schlosstraße, unmittelbar an einer Mauer, T = –0,8 m

Gars-Thunau:

Jüngstholozän

Grabung 1986, H, Schn. 133, Lfm. 0, Sektor A, Sig. 11 (Fnr. 13096)

Gauderndorf:

Etwa zeitgleich: Epiatlantikum

Graben I, Schn. 1, AB-Profil, Lfm. 16–18 (Probe 3)

Graben II, Schn. 1, AB-Profil, Lfm. 24–28 (Proben 5, 11)

Graben III, Schn. 1, AB-Profil, Lfm. 36–40 (Proben 6, 9)

Graben III, Schn. 1, AB-Profil, Lfm. 92–96 (Proben 3, 4)

Kamegg (TRNKA):

Epiatlantikum

Grabung 1987, Schn. 20, Gra. II, N-Prof.: Bpr. 10

Lanzenkirchen:

2. Hälfte 13. Jhdt./Anf. 14. Jhdt.

Phase 4B (Planierschicht Hof) (Fnr. 374)

2. Hälfte 15. Jhdt.

Phase 5B (Interface und Verfüllung Gräbchen): Sig. 5/2 (Fnr. 368, 963, 985)

Prellenkirchen:

Älter als die archäologische Datierung (Frühhestholozän)

Obj. 655 (Fnr. 322), 768 (355), 1058 (554)

Schwabenreithöhle:

Jungholozän

Grabungsstelle 1: Wolkengang (cf.)

Stillfried, Hügelveld:

Jungpleistozän

Qu. H8–Ost, Verf. 4b, Brandschicht (Fnr. 4987/1978)

Riegel B1/C1, Verf. 1, –270 cm SW C1 (Fnr. 11399/1983)

„Urnenfelder-/Hallstattzeit“ (9.–8. Jhdt. bzw. 6.–5. Jhdt. v. Chr.)

Qu. G20, beim Abbau des Prof.riegels, Grube 1, Obj. 407 (Fnr. 4461/1976)

„Römerzeit mit viel urzeitlichem Material“

Qu. H8, Ofen, von der Sohle, Obj. 481 (Fnr. 5122/1971)

„Mittelalter“

Riegel H8/H9, Plan. 2–3, Verf. 4c, Obj. 484 (Fnr. 4991/1978). Qu. A1, Plan. 4–5, unterste Schicht, 270–290 cm unter SW-Ecke, Obj. 605 (Fnr. 8144/1981)

Stillfried, mittelalterlicher Hausberg (EIBNER):

Jungpleistozän: Spätwürm

Schn. 1: Abh. 2: Qu. 1, Lfm. 9,5–10; T = 178,54

Ternitz:

Hochmittelalter bis subrezent

Fnr. 230 (Sig. 99a), 411 (194a), 743 (209+202), 841 (336); 1898 (749)



Boettgerillidae (Karte 223)

Wurmartige, kleine (bis 5 cm) Tiere, mit nach hinten zugespitztem Mantelschild, in dessen Spitze das Schälchen eingebettet ist. Sie sind vom Mantelschild bis zum Hinterende durchgehend gekielt.

Die einzige Gattung, *Boettgerilla* SIMROTH 1910 ist kaukasisch und umfasst gegenwärtig 2 Arten. Über die Quartärverbreitung ist fast nichts bekannt.

Die für Mitteleuropa in Frage kommende Art ist *B. pallens* SIMROTH 1912 (syn.: *B. vermiformis* WIKTOR 1959) (Abb. 100). Nach WIKTOR (1994: 36) stammt sie sehr wahrscheinlich aus Georgien und ist in Europa (ab etwa 1960; vielleicht früher?) und Asien relativ jung eingebürgert. Ihr gegenwärtiges Areal reicht von Skandinavien und Leningrad im Norden bis Rumänien; im Westen von Frankreich bis Zentralasien (Tashkent, Dushanbe). Aus Zentraleuropa sind zahlreiche synanthrope Vorkommen bekannt. Nach FECHTER u. FALKNER (1989: 190) konnte das Vorkommen in Westeuropa nachträglich durch Sammlungsbelege bis 1949 zurückdatiert werden. Für Österreich sind seit REISCHÜTZ (1973: 8, 1986: 148–150, Karte 31) die Fundmeldungen aus Österreich im Zunehmen. Besonders häufig dürfte sie in

Niederösterreich und Wien sein; auch aus dem Donauraum unterhalb von Wien liegen mehrere Angaben vor. Zur Biologie und Verbreitung siehe auch SCHMID (1963) KERNEY et al. (1983: 199–200; Taf. 12: Abb. 6, Karte 216), FECHTER u. FALKNER (1989: 190).

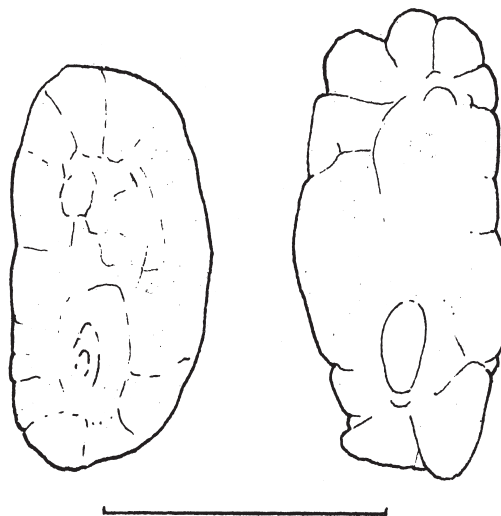


Abb. 100: Schälchen von *Boettgerilla pallens*; nach WIKTOR (1989: p. 138: Fig. 174–175); Maßstab: 1 mm.

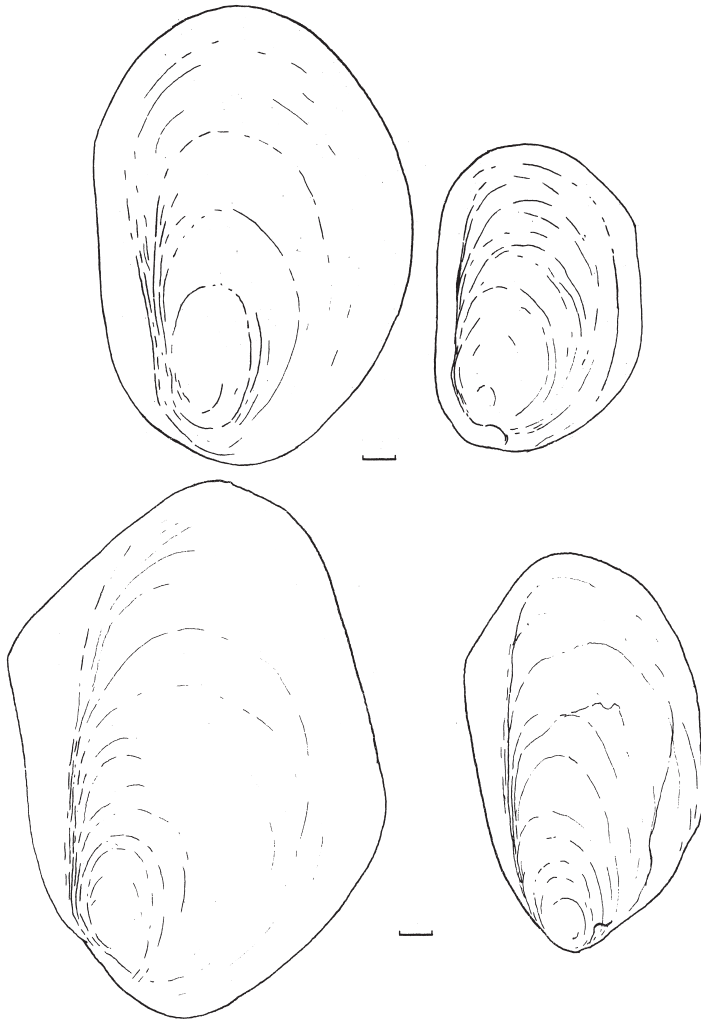


Abb. 101: Schälchen von *Limax cinereoniger* (oben) und *Limax maximus* (unten); nach WIKTOR (1989: p. 177: Abb. 249–250; p. 175: Abb. 246–247); Maßstab: 1 mm.

Sie bevorzugt feuchte Wälder, besonders Auwälder, Erlenbrüche, Bacheschen- und Eichen-Hainbuchen-Wälder. Sie lebt sehr verborgen, unter Laub, Moos, Holz und Steinen, oft in der Erde; auch bei Ruinen, Mauern, in Kellern, Telefonkabel-Kanälen, Brunnenstuben und Gärten. In tschechischen Eisenhütten wurde sie vermutlich mit sowjetischem Eisenerz eingeschleppt. Sekundär ist sie wahrscheinlich auch in Gewächshäusern von Gärtnereien (unter Brettern, Kisten).

Beschreibung des Schälchens nach SCHMID (1963: 222, Abb. 2): Sehr klein, zerbrechlich, 1,5–3 mm L, 0,8–1,5 mm B; ± rechteckig, medianer, nach dem hinteren Ende verlagter Nucleus. Hier mit dichteren, oft raspelartig-rau erscheinenden Zuwachsstreifen. Ringsum laufend eine durchscheinende Zone, die meist durch Risse unterteilt ist. Ein eigentlicher dünnerer Randsaum fehlt. Relativ dick, bis zum Rand bucklig gewölbt.

Für die Verbreitung von *Boettgerilla* gilt dasselbe wie für die der Milacidae – eventuell ehemals größere Verbreitung?

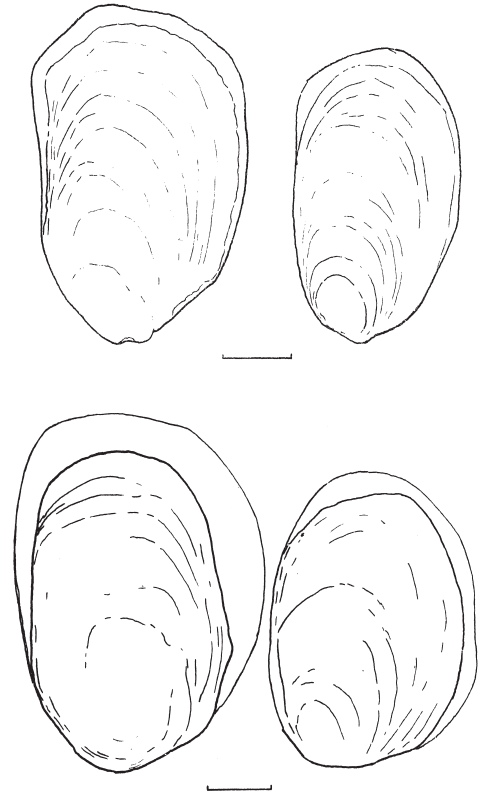


Abb. 102: Schälchen von *Malacolimax tenellus* (oben) und *Lehmannia marginata* (unten); nach WIKTOR (1989: p. 147: Fig. 183–184; p. 156: Fig. 204–205); Maßstab: 1 mm.

Fundstellen

Braunsberg, Hainburger Berge:

Jungholozän; ältere Hallstatt- und jüngere Latènezeit, 2. bis 1. Jhdt. v. Chr.

N-Profil: Lfm. 10,4: 110 cm v. oben (Fnr. 1737: cf.)

Kamegg (TRNKA):

Epiatlantikum

Grabung 1981, Schn. 1: Lfm. 57–58, unter Plan. 3, Gra. II (Nr. 75)

Grabung 1987, Schn. 20, Gra. II, N-Profil.: Bpr. 9, 10, 13 (cf.).

Grabung 1988, Schn. 25: Bpr. 89 (Nr. 881)

Jünger als Epiatlantikum

Grabung 1985, Schn. 9, Gra. II, O-Tor, N-Ende, O-Hälfte, Nordprof. AB: Sig. 8, 13

Laxenburg, awarisches Gräberfeld:

7.–8. Jhdt. n. Chr.

Grab/Obj. Nr. 427 (Fnr. 1265: cf.)

Limacidae

Mittelgroße bis große, eher schlanke Tiere mit gekieltem Hinterende; das Schälchen ist völlig vom Mantel umschlossen.

Mit etwa 100 Arten westpaläarktisch verbreitet; Schwerpunkt in Süd- und Südosteuropa. – Lebensräume sind Wälder, Gebüsche, auch das Kulturland.

Nach WENZ u. ZILCH (1959: 266) in Europa bis ins obere Oligozän verfolgbar. – BINDER (2002: 169, Taf. 2, Fig. 1a,b, eventuell auch Fig. 2a,b) wies Schälchen im oberen Untermiozän/Karpatium, Korneuburger Becken: Teiritzberg und Obergänserndorf nach; LUEGER (1981: 48; Taf. 5, Fig. 10a–b) im obersten Miozän, Pont F, Götzendorf, Wiener Becken.

Die Schälchen der Limacidae sind (2) 2,3–13 mm L : 1,5–8,8 mm B, flach oder nur schwach gewölbt, eiförmig-oval, relativ dünn, mit häutigem Saum, im frischen Zustand durchscheinend, mit ± seitlich (links) verschobenem, endständigem Nucleus und konzentrischen Zuwachslinien. Sie können auch stärker verdickt sein, dann sind die Zuwachslinien grob. Größere Schälchen besitzen die Arten der Gattungen *Limax* LINNAEUS 1758 und *Limacus* LEHMANN 1864;

kleinere die von *Lehmannia* HEYNEMANN 1862 und *Malacolimax* MALM 1868 (Abb. 101–102).

Die Schälchen sind vorwiegend in warmzeitlichen-pleistozän/interglazialen und holozänen Kontexten enthalten. Die großen, schmalen Schälchen von *Limax* sind der Gattung meist gut zuzuordnen; ansonsten sind Gattungs- oder sogar Artbestimmung an fossilisierten Stücken eher fraglich. Vergleich mit rezentem, sicher durch Präparation bestimmten Material ist nötig!

Ziemlich sicher in die Gattung *Limax* gehören die folgenden Individuen (der Vermerk „2 Arten“ bezieht sich auf die Anwesenheit einer weiteren Art aus der Familie Limacidae) (Taf. XLV: 6–10; Karte 224):

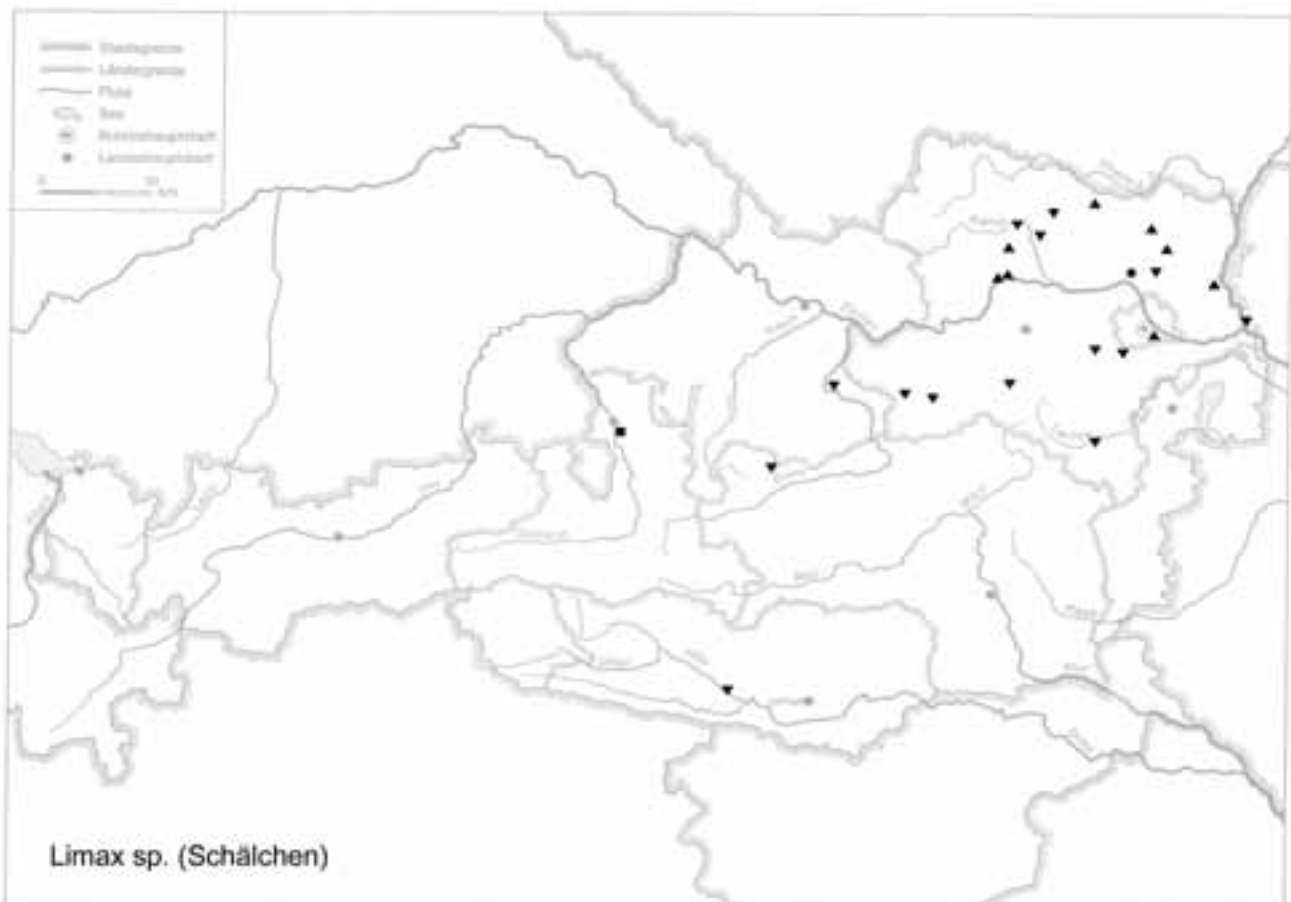
Fundstellen**Abri von Elsbethen:**

Allerödschwankung

Qu. 9iQ1, Qu. 9ihS1

Präboreal, voll entwickelt

Qu. 9hK2, Qu. 8hM1, Qu. 8hN1N2O1 (cf.)

Karte 224

Alberndorf:

Jungpleistozän

Probe Nr. 1: Sektor E, Lfm. 14, Plan. 4–5 (steriler, toniger Bereich; Nr. 1114)

Probe Nr. 4: Sektor G, Lfm. 5, Pan. 1–2 (Nr. 1379)

Probe Nr. 7: Sektor J, Lfm. 17, Plan. 3–4 (obere Sedimentationsrinne; Nr. 1456)

Allander Tropfsteinhöhle:

Mittelholozän

Höhlenlehm aus dem „Diebsversteck“, Höhe Schaukasten (2 Arten?)

Braunsberg, Hainburger Berge:

Jungholozän; ältere Hallstatt- und jüngere Latènezeit, 2. bis 1. Jhdt. v. Chr.

Wallschnitt 6:

Plan. 5; Lfm. 7,20 (Fnr. 1529, 4,3 : 2,5 mm)

S-Profil: Lfm. 8,10/+85 cm (Fnr. 1713)

Brettsteinbärenhöhle:

Mittelholozän

Grabungsstelle 1

Durezza-Schachthöhle:

Jungholozän

Sektor B, Nische Sektor f, über Plan. 5 (cf. *cinereoniger*)

Gars-Thunau:

Jüngstholozän

Grabung 1982, E, Schn. 91, Lfm. 0–1A, abfg, Plan. 3–4 (Sack 2)

Gauderndorf:

Epiatlantikum

Graben II, Schn. 1, AB-Profil, Lfm. 24–28 (Probe 5)

Großrußbach:

Jungpleistozän: Spätwürm

Grabung 1997, Schn. 1, Gra. I, UK von Sch. 4 (Fnr. P505: cf.)

Grub/Kranawetberg, bei Stillfried (ANTL-WEISER 1997):

Jungpleistozän

Probe Nr. 4: Qu. A1, Sektor L (–48 cm, verpflegte Kulturschicht knapp unter dem Humus: große Art)

Hinterbrühl, Schneckenkluff:

Epiatlantikum

Füllmaterial (groß, dick, ca. 13,6 mm)

Hirschenfallhöhle:

Mittelholozän

Wurzeldom:

Probe Nr. 1 (grobes, sinteriges Material: 2 Arten?)

Probe Nr. 2 (grobes Substrat, mit vielen Knochen: 2 Arten?)

Probe Nr. 5 (oberstes Ende, sehr grobes Substrat)

Probe Nr. 6 (grobes Substrat)

Großer Dom:

Probe Nr. 4 (grobes Substrat)

Hornsburg 3:

Epiatlantikum

Graben I, Schn. 1, SW-Profil, Lfm. 5,2–9,2 (Probe 8: 7 mm)

Kamegg (TRNKA):

Epiatlantikum

Grabung 1981, Schn. 1: Lfm. 58–59, Plan. 2–3, Gra. II (Nr. 57: cf.)

Grabung 1981, Schn. 3: Verf. 1 (in 2 Proben: cf.)

Grabung 1987, Schn. 20, Gra. II, N-Prof.: Bpr. 11 (cf.), 12 (cf.)

Epiatlantikum, ausklingend

Grabung 1985, Schn. 9, Gra. II, O-Tor, N-Ende, O-Hälfte, N-Prof. AB: Sig. 7 (cf.), 14 (cf.)

Grabung 1991, Schn. 32, Gra. I, GH-Profil.: Seg. 2, Spr. 1

Köhlerwandhöhle:

Frühatlantikum

Grabungsstelle 1: Qu. F3 (grauer Humushorizont mit Wurzeln), Qu. F3 (100–105 cm), Qu. F3/F4 (zwischen Blockwerk über Gestein), Qu. F4 (110–120 cm); oberflächlich an der Höhlenwand bei P12, bei P5 und P 15 (5 cm Schichtdicke)

Krems, Schießstätte:

Ältestpleistozän

Probe KR 9: Paläoboden 9 (cf.)

Krems, Hundssteig:

Jungpleistozän: Gravettien

Probenserie 1: Probe Nr. 1/18

Nixloch:

Aus frühholozänen Störungen

Qu. J12A (große Art; cf. *cinereoniger*)

Schletz (TRNKA)

Älter lengyelzeitlich, jungpleistozän vermischt

Graben I, Schn. 1, SO-Profil, Lfm. 0–12,4 (Verf. 5: cf.)

Schwabenreithöhle:

Jungholozän

Grabungsstelle 1: Wolkengang (cf. *cinereoniger*)

Stranzendorf:

Oberpliozän

Rotlehm J (große Art; das Schälchen dick, etwa 10 mm)

Stratzing/Krems-Rehberg:

Jungpleistozän

Prof. I: Tennisplatz-Ziegelei (1994): Probe 19 (450–475 cm Tiefe), Probe 23 (550–575 cm)

Ternitz:

Hochmittelalter bis subrezent

Fnr. 821 (Sig. 202), 1898 (749)

Wien IV, Favoritenstraße:

Wahrscheinlich Mittelpleistozän

Probe Nr. 2: Löß, 3,5 m unter dem Straßenniveau

Agriolimacidae

Klein (meist unter 3 cm), im Vergleich zu den Limacidae relativ gedrungen, mit relativ großem Mantel. Hinterende spitz zulaufend, schwach gekielt. Schälchen völlig vom Mantel umschlossen (REISCHÜTZ 1999a: 23, 30–31; Abb. 5).

Die Schälchen (Abb. 103) sind klein, 3–5 (6) mm L : 1,8–2,5 (4) mm B, dünner bis dicker, rundlich-rechteckig bis schmal eiförmig, oben schwach gewölbt, mit kleinem, etwas erhabenem, ± medianem bis deutlich links verschobenem, endständigem Nucleus. Unterseite schwach konkav; Hinterrand oft mit ± deutlicher Einkerbung. Im frischen Zustand durchscheinend. – Es handelt sich um Schälchen der Gattung *Deroceras* RAFINESQUE 1820 mit *D. (Deroceras)* s. str., *Deroceras (Agriolimax)* MÖRCH 1865 und *Deroceras (Malino)* GRAY 1855 (REISCHÜTZ 1999a: 30–31).

Verschiedene offene bis halboffene Lebensräume, Gewässerränder, Feuchtwiesen, Hochstaudenfluren; Kulturgelände oder Wälder (eine Art auch in trockeneren Schwarzkiefernwäldern). Manche Arten können schädlich sein.

Holarktisch, mit Schwerpunkt westliche Paläarktis.

Sie sind die häufigsten Schälchen in quartären Sedimenten; in warmzeitlichen und in kaltzeitlichen Bildungen. Vorwiegend pleistozäne, auch holozäne Fundmeldungen. Nach LUEGER [1981: 48, Taf. 5, Fig. 9a–b; „*Limax* sp. (kleine Arten)“] im Obermiozän (Pannon B/C, Pannon D, Pont F, Pont H) des Wiener Beckens. „Limacidae, kleine Arten“ verschiedener Autoren bezieht sich ebenfalls teilweise auf diese Familie. Artbestimmungen anhand fossiler Schälchen sind fraglich!

Agriolimacidae: *Deroceras* sp. (Taf. XLVI: 1–7; Karte 225)

Fundstellen**Abri von Elsbethen:**

Allerödschwankung

Qu. 9iQ1 (< 2 mm), Qu. 9iR2 (< 2 mm), Qu. 9ihS1, Qu. 9ihS2 (< 6 mm; 2 Arten), Qu. 8iS2 (2–3,5 mm; 2 Arten), Qu. 9i(1)U1 (ca. 1 mm)

Jüngere Dryas/Präboreal?

Qu. 10gH2 (2 mm, fast glatt)

Frühes Präboreal

Qu. 87.72.3 (< 2 mm)

Präboreal, voll entwickelt

Qu. 9hK2 (bis 3,2 : 2 mm, die anderen < 2 mm), Qu. 9hL1

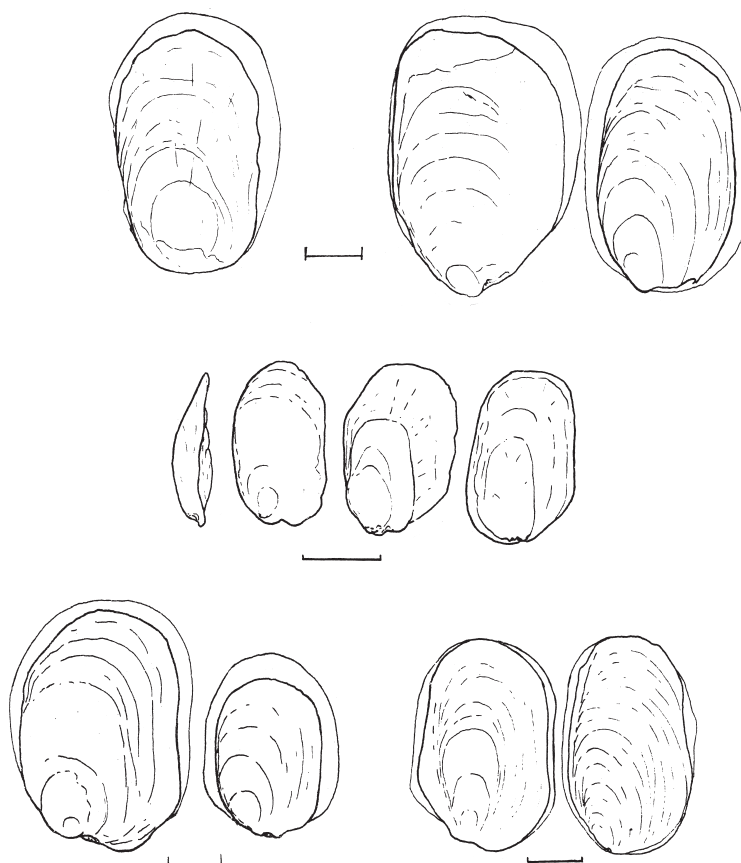


Abb. 103: Schälchen von *Deroceras agreste* (oben links), *Deroceras reticulatum* (oben rechts), *Deroceras laeve* (mittlere Reihe), *Deroceras rodnae* (unten links), *Deroceras sturanyi* (unten rechts); nach WIKTOR (1989: p. 121: Fig. 125–127; p. 108: Fig. 86–89; p. 130: Fig. 159–160; p. 108: Fig. 90–91).

(1–2 mm, glasartig transparent, fast glatt), Qu. 9hL2 (< 3 mm, fast glatt; transparent), Qu. 8hM1 (2–3,5 mm), Qu. 8hM2 (> 3 mm; glatt, transparent; 2 Arten), Qu. 8hN1N2O1 (klein)

Präboreal, ausklingend

Qu. 20jF4/Grab II (2 Arten, die eine 3,4 : 1,8 mm)

Boreal, voll entwickelt

Qu. 87.30.1. (ca. 3 mm, dünn, fast glatt)

Atlantikum

Qu. 6hE2 (2 Arten; fast glatt, ca. 4 mm bzw. dick, ca. 2 mm),

Qu. 6gF2 (2 Arten, bis 5 mm), Qu. 6hH1 (3 mm, Zuwachslinien sichtbar)

Aggsbach Markt:

Jungpleistozän

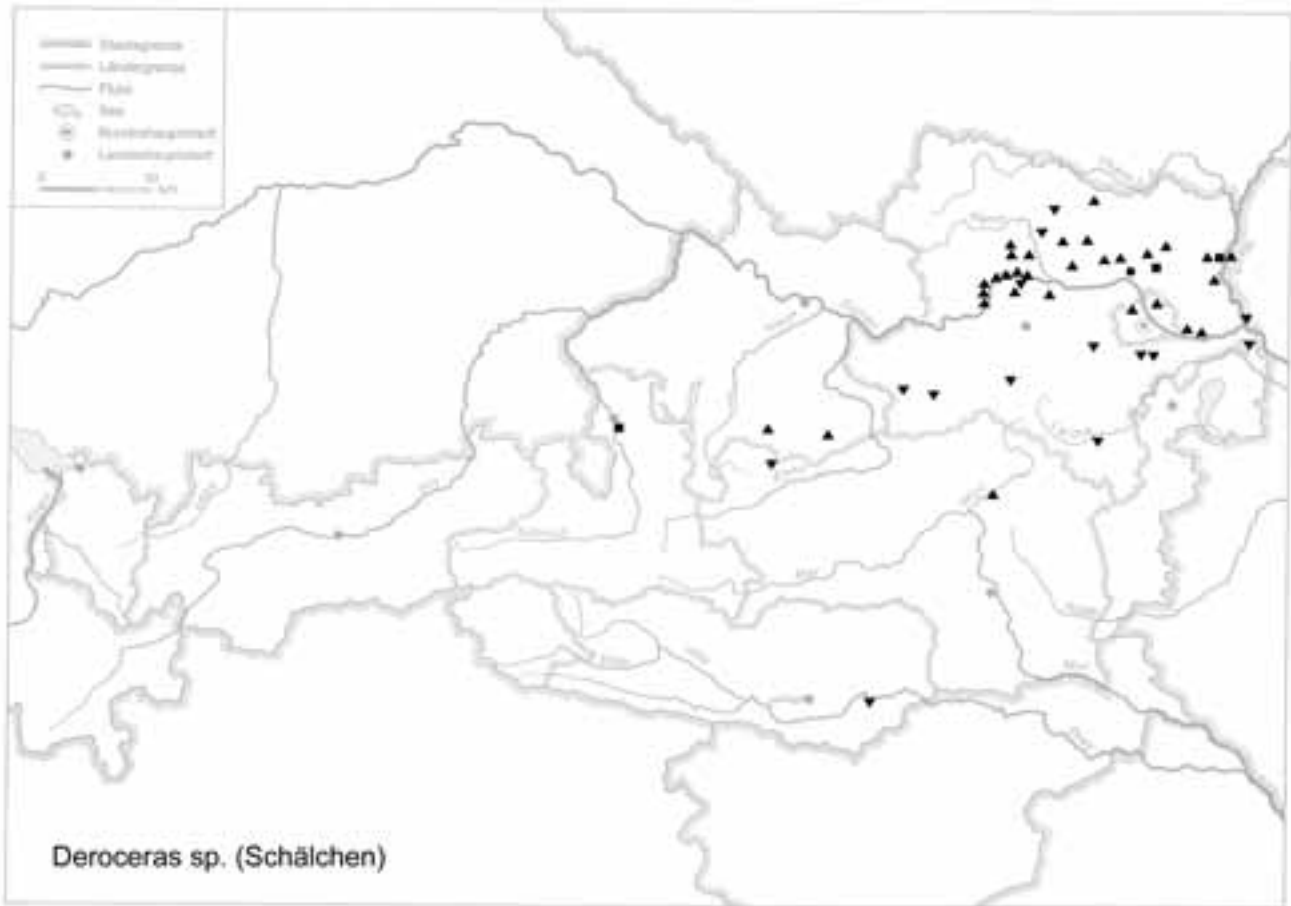
Bereich von „Aggsbach B“ (aufgelassene Ziegelei):

Basis eines Lößpaketes aus einem Hohlweg westlich des Punktes B' (Probe 1b)

Aigen, Hohlweg:

Jungpleistozän

Löß zwischen den beiden Bodenbildungen (Probe 3)

**Alberndorf:**

Jungpleistozän

Probe Nr. 5: Sektor H, Lfm. 13, Plan. 4–5 (sandiger, lößähnlicher Bereich; Nr. 1112)

Probe Nr. 7: Sektor J, Lfm. 17, Plan. 3–4 (obere Sedimentationsrinne; Nr. 1456)

Allander Tropfsteinhöhle:

Mittelholozän

Höhlenlehm aus dem „Diebsversteck“, Höhe Schaukasten (2 Arten)

Braunsberg, Hainburger Berge:

Jungholozän; ältere Hallstatt- und jüngere Latènezeit, 2. bis 1. Jhdt. v. Chr.

Wallschnitt 6:

Plan. 3; Lfm. 3 (Fnr. 1460, 6–7 mm), Lfm. 7 (Fnr. 1461), Lfm. 16 (Fnr. 1462, 3,8 : 2 mm), Lfm. 18 (Fnr. 1463, 3,5 : 1,8 mm), Lfm. 5,8 (Fnr. 1464, 4 mm)

Plan. 4; Lfm. 3 (Fnr. 1495, < 4 mm), Lfm. 5,4: dunkle Verf. (Fnr. 1496, 3,8 : 2,5 mm), Lfm. 8: hell verflockte Verf. (Fnr. 1498, > 2,0 mm), Lfm. 10,10: dunkle Verf. (Fnr. 1499, > 4,0 mm), Lfm. 17,80: dunkle Verf. (Fnr. 1500, < 3,0 mm)

Plan. 5; Lfm. 2,20 (Fnr. 1526, 3,4 : 2 mm), Lfm. 6 (Fnr. 1527), Lfm. 6,70 (Fnr. 1528), Lfm. 9 (Fnr. 1530, 2 :

1,3 mm, dick), Lfm. 9,80 (Fnr. 1531), Lfm. 12,20 (Fnr. 1533, 2,5 : 1,4 mm, löffelförmig)

Plan. 6; Lfm. 4: Gräbchen (Fnr. 1557), Lfm. 6: Pfl. (Fnr. 1558), Lfm. 10: Pfl. (Fnr. 1560, 3,5 mm), Lfm. 11: Pfl. (Fnr. 1561, < 3 mm), Lfm. 15 (Fnr. 1562, < 4 mm)

Plan. 7; Lfm. 6,50 (Fnr. 1583, > 4 mm), Lfm. 7,70 (Fnr. 1584, > 3,8 : > 2,5 mm), Lfm. 10: dunkle Verf. = Pfl. in Pfg. (Fnr. 1585, 3 mm), Lfm. 11: braune Schicht (Fnr. 1586, < 2,0 mm), Lfm. 13: Verf. (Fnr. 1587, > 5 mm)

Plan. 8; Lfm. 6 (Fnr. 1605, 4–4,9 : 1,9–2 mm), Lfm. 6,50 (Fnr. 1606, < 4 mm), Lfm. 7,40: Pfl. (Fnr. 1607, dick: 3,4–3,6 : 2–2,2 mm), Lfm. 8: Verf. (Fnr. 1559, > 3,5 : 1,8 mm), Lfm. 8 (Fnr. 1608, 2,5–3 : 1,5–2,5 mm), Lfm. 8,60 (Fnr. 1609, < 4 mm), Lfm. 8,70 (Fnr. 1610, 2 : 1–1,1 mm), Lfm. 10,20: hell verflockte Verf. (Fnr. 1611, < 2 mm), Lfm. 12,40: braune Verf. (Fnr. 1613, 4 mm)

Plan. 9; Lfm. 5,30 (Fnr. 1638, < 4 mm), Lfm. 5,70 (Fnr. 1639), Lfm. 9 (Fnr. 1640, < 3 mm, dünn), Lfm. 10,70 (Fnr. 1641), Lfm. 10,60 (Fnr. 1642, 2–3,5 : 1,2–2,3 mm), Lfm. 13 (Fnr. 1643, < 2 mm, dünn)

Plan 10; Lfm. 6,50 (Fnr. 1664, < 2 mm), Lfm. 12,50 (Fnr. 1665, < 2 mm)

N-Profil: Lfm. 10,4; 255 cm v. oben (Fnr. 1732, 4,0 mm),

210 cm v. oben (Fnr. 1734, > 3,0 mm), 160 cm v. oben (Fnr. 1735, < 4,0 mm), 140 cm v. oben (Fnr. 1736), 110 cm v. oben (Fnr. 1737), 86 cm v. oben (Fnr. 1738, < 3,0 mm), 60 cm v. oben (Fnr. 1739, < 2,0 mm), 38 cm v. oben (Fnr. 1740, < 2,0 mm)

S-Profil: Lfm. 0,5/+60 cm (Fnr. 1684, 2,0 mm); Lfm. 4/+75 cm (Fnr. 1690, < 2,0 mm); Lfm. 4,60/+50 cm (Fnr. 1695, 3,8 : 2,1 mm); Lfm. 6,16/-5 cm (Fnr. 1697, 4 : 2,2 mm); Lfm. 6,13/-22 cm (Fnr. 1698, < 4,0 mm); Lfm. 6,14/-40 cm (Fnr. 1699, > 3,9 : 2 mm), 6,14/-70 cm (Fnr. 1701, 3,8 mm), 6,14/+115 cm (Fnr. 1705, > 3,0 mm); Lfm. 8,10/-25 cm (Fnr. 1707, < 4,0 mm), 8,10/-60 cm (Fnr. 1708, 4,0 mm), 8,10/+4 cm (Fnr. 1710, < 4,0 mm), 8,10/+30 cm (Fnr. 1711, < 2,0 mm), 8,10/+60 cm (Fnr. 1712, 4,0 mm), 8,10/+85 cm (Fnr. 1713, < 3,0 mm); Lfm. 10/-110 cm (Fnr. 1717, > 3,4 : 1,9 mm), 10/-65 cm (Fnr. 1718, < 3,0 mm), 10/-80 cm (Fnr. 1719), 10/-35 cm (Fnr. 1720, < 4,0 mm), 10/Maßlinie (Fnr. 1721, < 5,0 mm), 10/+40 cm (Fnr. 1722, < 4,0 mm); Lfm. 10/+60 cm -50 cm unter HOK (Fnr. 1723); Lfm. 13,80/-45 cm -180 cm unter HOK (Fnr. 1728, 3,8 : 2 mm), 13,80/+35 cm -50 cm unter HOK (Fnr. 1729, > 3,2 : 2 mm), 13,80/+55 cm -70 cm unter HOK (Fnr. 1730, 3,5 : 1,8 mm), 13,80/+100 cm -35 cm unter HOK (Fnr. 1731)

Brettsteinbärenhöhle:

Mittelholozän

Grabungsstelle 1

Fischamend a. d. Donau:

Jüngstes Mittelpleistozän bis Spätwürm

Mit Feinsand gefüllte, in einem Schotterkörper mit Grobsand-Zwischenlager eingesenkte Tasche

Gamssulzenhöhle:

Spätglazial

Fundstelle 1: Eingangshalle (140–150 cm Schichttiefe)

Gauderndorf:

Epiatlantikum

Graben II, Schn. 1, AB-Profil, Lfm. 103–106 (Proben 3, 8, 10)

Gobelsburg, Keller Schneider:

Jungpleistozän: Jungpaläolithikum

unterer Profilabschnitt: Proben Nr. GO/11/II/1, GO/11/II/3

Gracarca:

Wahrscheinlich später als Latène

Sektor G2 (Westprofil): Mauerversturz

Großrußbach:

Jungpleistozän: Spätwürm

Grabung 1997, Schn. 1, Gra. I, UK von Sch. 4 (Fnr. P505)

Großweikersdorf:

Jungpleistozän

Probe Nr. 1: Kulturschicht („Großweikersdorf C“: 3 Arten?)

Probe Nr. 4: im Hohlweg oberhalb der Ziegelei, unterhalb der verfloßenen Bodenbildung

Grub/Kranawetberg, bei Stillfried (ANTL-WEISER 1994):

Jungpleistozän

Probe Nr. 5. Qu. A2, Sektor 0 (-59 cm/OK bzw. -94 cm/UK)

Hirschenfallhöhle:

Mittelholozän

Wurzeldom:

Probe Nr. 1 (grobes, sinteriges Substrat)

Probe Nr. 2 (grobes Substrat, mit vielen Knochen: cf.)

Probe Nr. 5 (oberstes Ende; grobes Substrat)

Probe Nr. 6 (grobes Substrat; 2 Arten)

Hornsburg 3:

Epiatlantikum

Graben I, Schn., 1, SW-Profil, Lfm. 5,2–9,2: Proben 5, 6, 12, 14, 17 (Lößbeimischung), 18, 19, 20 (Lößbeimischung) (2 Arten; < 2 mm)

Kamegg (TRNKA):

Epiatlantikum, voll entwickelt

Grabung 1984, Schn. 6, Gru. 20, NO (Nr. 402) (2 Arten)

Epiatlantikum, 2. Hälfte

Grabung 1988, Schn. 23, Gra. II, AB-Prof.: Bpr. 21

Epiatlantikum, ausklingend

Grabung 1985, Schn. 9, Gra. II, O-Tor, N-Ende, O-Hälfte, N-Prof. AB: Sig. 2

Grabung 1986, Schn. 12, Gra. II, S-Prof. AB: Sig. 5, Bpr. 6; Sig. 7b, Bpr. 7

Grabung 1991, Schn. 32, Gra. I, GH-Prof.: Seg. 2, Spr. 1; Seg. 2, Spr. 2

Epiatlantikum

Grabung 1981, Schn. 1: Lfm. 16–18, Plan. 1–2, aus Verf. (Gra.) (Nr. 41); Lfm. 16–18, Plan. 1–2, aus Verf. (Gra.) (Nr. 42)

Grabung 1981, Schn. 3: Verf. 1 (in 2 Proben)

Grabung 1987, Schn. 20, Gra. II, N-Prof.: Bpr. 8, 12

Grabung 1988, Schn. 25: Bpr. 91 (Nr. 875), Bpr. = Verf. 92 (Nr. 876); Lfm. 2–4, Sektor I–J, Bpr. = Verf. 93 (Nr. 886), Bpr. 94 (Nr. 883)

Grabung 1988, Schn. 27, Bpr. = Verf. 101 (Nr. 892)

Köhlerwandhöhle:

Frühatlantikum

Grabungsstelle 1: Qu. F3 (100–105 cm); oberflächlich an der Höhlenwand bei P 12 (15 cm Schichtdicke)

Krems, Schießstätte:

Zeitstellung Alt- bis Mittelpleistozän?

Probe KR 5: Unterkante von Paläoboden 5

Mittelpleistozän

Probe KR 4/2: unter der Oberkante von Paläoboden 4 (3 Arten?)

Krems, Hundssteig:

Jungpleistozän: Gravettien

Probenserie 1: Probe Nr. 1/13, 1/16

Krems, Hundssteig:

Jungpläolithikum; Hauptkulturschicht: Gravettien
Südwest-Profil; Qu. S 84 (12.9.2002): Hu 11/21, 11/30,
11/34; 10/73 („Paläoboden“)

Laxenburg, Schlosspark:

älteres Atlantikum
nicht lokalisierbare Probe (3–4 mm : 2,2 mm)

Laxenburg, awarisches Gräberfeld:

7.–8. Jhdt. n. Chr.
Grab/Obj. Nr. 287 (Fnr. 659), 359 (959), 427 (1265)

Mannswörth:

Jungpleistozän
Probe 1: Sandige Tone auf Quarzschottern der Manns-
wörther Terrasse (kleine Art)

Mautern a. d. Donau/Favianis, Auxiliarkastell:

Grabung Frauenhofgasse:
ca. 100–130 n. Chr.
Periode 2: Qu. A1, Sch. 120, W-Profil (Gehniveau: cf.)

Mühlbach am Manhartsberg:

Jungpleistozän (Lößbeimischung)
Grabung 1985, Schn. 1, Gra., N-Prof.: Sig. 11

Nußdorf ob der Traisen: Keller A. u. W. Pernikl:

Jungpleistozän: wahrscheinlich Mittelwürm
Bereich des im Entstehen begriffenen Stiegenhauses: Profil
NI: 2c/2 (2 kleine Arten; 1,7 : 1 mm, 2,5 : 1,6 mm), 3c/2 (2
Arten, 1,4–2 : 0,9–1,5 mm), 4c/1+2 (1 Art, 2,1 : –2,5 mm :
2–1,6 mm), 5c/2 (2 Arten, 2 : 1,4 mm), 7c/2 (1 Art, 1,6 :
1,1 mm), 8c/1+2 (ca. 2 mm L) (homogene, lößähnliche
Sedimente im Schluffbereich)

Keller 2: Profil NK2: C2/2 (1 Art, 2 : 1,1 mm) (toniger
Schluff), C3/2 (1 Art, 2 : 0,9 mm) (schluffiger Lehm)

Ofenberger Westhöhle:

Hochglazial?
Sedimentprobe

Ottenthal:

Jungpleistozän: wahrscheinlich Spätwürm
Probe Nr. 6: 80–100 cm über der Unterkante des Tscherno-
nosems

Paudorf:

Jungpleistozän
Probe Nr. 4 (Neuaufnahme): Obere Bodenbildung („Pau-
dorfer Bodenbildung“; 2 Arten)
Probe Nr. 6 (Neuaufnahme): Löß, etwa 1 m über der obe-
ren Bodenbildung (2 Arten)

Prellenkirchen:

Älter als die archäologische Datierung (Frühholozän)
Obj. 223 (Fnr. 173), 223/1 (170), 223/3 (168), 294 (166),
294/1 (167), 311 (158, 159), 311/9 (160, 187), 313 (164, 163),
358 (162), 415 (176, 177), 424 (186, 184), 481 (246, 247), 483
(222, 221, 223), 483/2 (263, 264), 506 (236, 234, 235), 655
(323, 322), 660 (314), 756 (358, 357), 768 (354, 355), 816 (420,
419), 932 (521), 1058 (554), 1077 (600, 598) (3 Arten)

Radlbrunn:

Ältestpleistozän
Probe Nr. 3: gelbe, kalkreiche Sedimente im Hangenden des
Schotters

Ruppersthal:

Jungpleistozän
Profil III:
Probe Nr. 1: 0–20 cm über der Oberkante des Tscherno-
nosems
Probe Nr. 8: 300–350 cm über der Oberkante des Tscherno-
nosems
Probe Nr. 9: 350–400 cm über der Oberkante des Tscherno-
nosems
Probe Nr. 10: 400–450 cm über der Oberkante des Tscherno-
nosems
Probe Nr. 11: 450–500 cm über der Oberkante des Tscherno-
nosems
Probe Nr. 12: 500–550 cm über der Oberkante des Tscherno-
nosems
Profil IV:
Probe Nr. 13: 100 cm unter der Unterkante der rezenten
Humuslage
(insgesamt 3 Arten)

Salzofenhöhle:

Würmzeitlich
Probe Nr. 3 („Nagetierschicht Ia“)

Schwabenreithöhle:

Jungholozän
Grabungsstelle 1: Wolkengang (2–3 Arten)

Schwallenbach:

Jungpleistozän
Schichtkomplex C: Probe Nr. 4 (ausgebleichter Löß/
Nassboden), Probe Nr. 8 (humoser Löß), Probe Nr. 10a
(humoser Löß mit Permafrost)
Schichtkomplex D: Probe Nr. 16 (humoser Löß), Proben
Nr. 17, 20 (Zone mit Wurzelspuren)

Stillfried, Westwall:

Jungpleistozän
Ofen, Verf. 1 (Fnr. 7566–1/1978; größere Art)

Stillfried, Neuaufnahme des „Stillfried B“-Horizontes von Typusprofil II (durch STADLER 1996):

Jungpleistozän
Probe Nr. 1: 0–20 cm unterhalb der Bodenoberkante
Probe Nr. 2: 20–40 cm unterhalb der Bodenoberkante
Probe Nr. 3: 40–60 cm unterhalb der Bodenoberkante (2
Arten)

Stillfried, Hügelveld:

Jungpleistozän
Qu. C0, Verf. 1, –160–190 cm unter NW-Ecke (Fnr. 8483/
1982) (kleine Art)
Qu. B0, Verf. 6, 250–280 cm unter NW-Ecke (Fnr. 8802,
8808/1982) (kleine Art)

Riegel B1/C1, Verf. 1–250–270 cm SW C1, Grube (Fnr. 11392/1983) und –270 cm SW C1 (Fnr. 11399/1983) (2 Arten)

„Urnenfelderzeit“ (9.–8. Jhdt. v. Chr.)

Qu. AB 3, Verf. 14, Obj. 841 (Fnr. 13347/1986) (kleine Art)

„Römerzeit mit viel urzeitlichem Material“

Qu. H8, Ofen, von der Sohle, Obj. 481 (Fnr. 5122/1971)

Qu. G 20, Grube 2, Obj. 408 (Fnr. 4468/1976).

„Mittelalter“

Riegel H8/H9, Plan. 2–3, Verf. 4c, Obj. 484 (Fnr. 4991/1978) (größere Art)

Stillfried, Kirchhügel und Kirche:

Jungpleistozän?

Kirche, Lfm. 26, 210 cm Tiefe (Fnr. 9167; Datum?) (größere Art)

Stillfried, mittelalterlicher Hausberg (EIBNER):

Jungpleistozän: Spätwürm

Schn. 1: Abh. 6/1, T = 177,85–177,70 cm: Qu. 5, Lfm. 8,5–9; Qu. 9, Lfm. 7,5–8

Stranzendorf:

Oberpliozän

Rotlehm J

Braunlehme F, G

Stratzing/Krems-Rehberg:

Jungpleistozän

Prof. I: Tennisplatz-Ziegelei (1994): Probe 19 (450–475 cm Tiefe), Probe 20 (475–500 cm), Probe 23 (550–575 cm), Probe 24 (575–600 cm) (2–3 Arten)

Prof. II. Tennisplatz-Ziegelei (1994): Probe 1 (0–25 cm Tiefe), Probe 2 (25–50 cm), Probe 5 (100–125 cm), Probe 11 (250–275 cm), Probe 13 (300–325 cm), Probe 16 (375–400 cm)

Galgenberg 1989/Parz. 344: Qu. U1/89, obere Kulturschicht (Fnr. 750/3, 750/4)

Stratzing/Galgenberg, Ostprofil:

Jungpleistozän: Aurignacien

Probe Nr. QR10:1981/3, 1981/9

Ternitz:

Hochmittelalter bis subrezent

Fnr. 1898 (Sig. 749)

Wetzleinsdorf:

Jungpleistozän: Mittelwürm

Profil I:

über dem Übergangsbereich zwischen Verlehmungszone und Schwarzerde:

Bodenbildung: Probe Nr. 23: 180–200 cm

Löß: Probe Nr. 24: 200–270 cm

Wien I, St. Stephan:

Pleistozän

Lehmbänder im Feinsand (10,3–12,25 m unter Straßenniveau)

Wien XI, Simmering:

Jüngeres Mittel- bis Jungpleistozän

Probe 2: ca. Lfm. 1–2, vom O-Profil stadtauswärts (Sedimentstärke 20 cm)

Willendorf i. d. Wachau:

Jungpleistozän

Probe Nr. 2: KS 8

Probe Nr. 4: 10–20 cm unter KS 8

Probe Nr. 5: 30–70 cm unter KS 8

Probe Nr. 6: Humusanreicherung an der Basis von Einheit B

Probe Nr. 10: 10–30 cm oberhalb KS 5

Probe Nr. 12: KS 5

Probe Nr. 13: 10–25 cm unter KS 5

Probe Nr. 14: 25–50 cm unter KS 5

Probe Nr. 16: KS 4

Probe Nr. 17: zwischen KS 3 und dem Beginn von Einheit D

Probe Nr. 19: Einheit D, 5,1–6,0 m

Probe Nr. 20: Einheit D, 6,0–6,2 m

Probe Nr. 21: Einheit D, 6,2–6,5 m

(insgesamt 3 Arten)

Reste von Nacktschneckenschälchen (keine Familienzuordnung möglich; in den allermeisten Fällen wahrscheinlich Limacidae u./o. Agriolimacidae; Karte 226)

Fundstellen

Abri von Elsbethen:

Allerödschwankung

Qu. 9i(1)U1 (4 mm : 2,5 mm)

Präboreal, voll entwickelt

Qu. 9hL1 (dick)

Boreal, voll entwickelt

Qu. 20iG1 (dick; 3,5 : 2,1 mm)

Ältere Holozänhälfte

Qu. 20IK1(1)

Frühholozän?

Qu. 20IC

Aigen, Hohlweg:

Jungpleistozän

„Paudorfer Bodenbildung“, Unterkante (Probe 1)

Alberndorf:

Jungpleistozän

Probe Nr. 4: Sektor G, Lfm. 5, Plan. 1–2 (Nr. 1379)

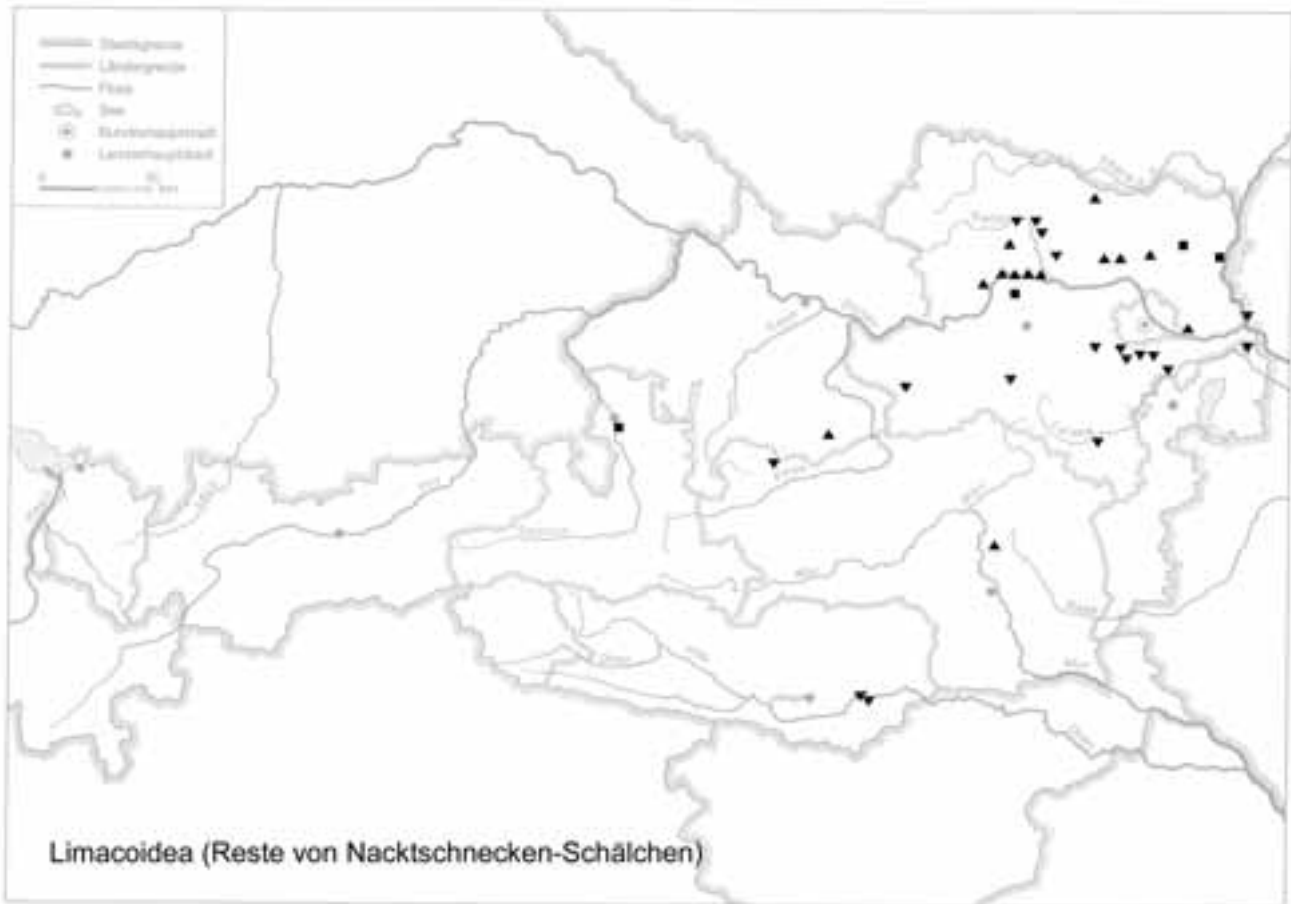
Allander Tropfsteinhöhle:

Mittelholozän

Höhlenlehm aus dem „Diebsversteck“, Höhe Schaukasten

Braunsberg, Hainburger Berge:

Jungholozän; ältere Hallstatt- und jüngere Latènezeit, 2. bis 1. Jhdt. v. Chr.



Wallschnitt 6:

Plan. 5; Lfm. 7,20 (Fnr. 1529)

Plan. 7; Lfm. 7,70 (Fnr. 1584)

N-Profil: Lfm. 10,4; 240 cm v. oben (Fnr. 1733)

Wallschnitt 5:

Hallstatt, über gewachsenem Boden: 15–20 cm unter 1990/1 (Fnr. 1990/2)

Brettsteinbärenhöhle:

Mittelholozän

Grabungsstelle 1

Furth, Hohlweg:

Jungpleistozän

Unterkannte der „Göttweiger Bodenbildung“ (große Art)

Gamssulzenhöhle:

Spätglazial

Fundstelle 1: Eingangshalle (140–150 cm Schichttiefe)

Gars-Thunau

Jüngstholozän

Grabung 1978, Gru. 50–Gru.ende (kleine Arten)

Grabung 1986, H, Schn. 133, Lfm. 0, Sektor A, Sig. 11 (Fnr. 13096) (kleine Arten)

Georgiberg b. St. Kanzian:

Wahrscheinlich Mittelalter

I/Wallschnitt 2 (gelbe Schicht mit Konglomerat)

Gracarca:

9. Jhdt. v. Chr. bis späte Latènezeit

Sektor E1/88 (Ostprofil): Kulturschicht

Großweikersdorf:

Jungpleistozän

Probe Nr. 1: Kulturschicht („Großweikersdorf C“)

Probe Nr. 4: im Hohlweg oberhalb der Ziegelei, unterhalb der verfloßenen Bodenbildung

Große Badlhöhle:

Spätglazial

unterer (= Haupt-)Eingang: Schicht 4, 4a (Kleinsäuger-schicht)

Gumpoldskirchen:

Frühholozän: Boreal

„Wiesenklei“

Hinterbrühl, Schneckenkluft:

Epiatlantikum

Füllmaterial (2–3 Arten)

Hirschenfallhöhle:

Mittelholozän

Wurzeldom:

Probe Nr. 1 (grobes, sinteriges Substrat)

Probe Nr. 2 (grobes Substrat, mit vielen Knochen)

Probe Nr. 5 (oberstes Ende, sehr grobes Substrat)

Großer Dom:

Probe Nr. 3 (Knochen, mit wenig Substrat)

Kamegg (TRNKA):

Jungpleistozän (Lößbeimischung)

Grabung 1985, Schn. 9, Gra. II, O-Tor, N-Ende, O-Hälfte, Längsprof. EF: Sig. 1

Epiatlantikum, älterer bis mittlerer Abschnitt

Grabung 1987, Schn. 21, Gra. II, CD-Prof., SW-Sektor: Bpr. 5

Epiatlantikum, ausklingend

Grabung 1986, Schn. 12, Gra. II, S-Prof. AB: Sig. 10, Bpr. 9 (mittelgroße Art)

Epiatlantikum

Grabung 1981, Schn. 1: Lfm. 58–59, Plan. 2–3, Gra. II (Nr. 57); Lfm. 59–60, Plan. 2–3, Gra. II (Nr. 58); Lfm. 57–58, unter Plan. 3, Gra. II (Nr. 75); Lfm. 18, Plan. 4–5, Gra. I (Nr. 90)

Grabung 1981, Schn. 3: Verf. 1 (in 2 Proben)

Grabung 1987, Schn. 20, Gra. II, N-Prof.: Bpr. 3 (wahrscheinlich wesentlich jünger), 9, 10, 13, 16, 19–21

Grabung 1988, Schn. 25: Bpr. 89 (Nr. 881), Bpr. 90 (Nr. 882); Lfm. 2–4, Sektor I–J, Bpr. = Verf. 93 (Nr. 886); Bpr. 94 (Nr. 883)

Grabung 1988, Schn. 26, Bpr. = Verf. 99 (Nr. 891)

Grabung 1988, Schn. 27, Bpr. = Verf. 101 (Nr. 892)

Jünger als Epiatlantikum

Grabung 1985, Schn. 9, Gra. II, O-Tor, N-Ende, O-Hälfte, Längsprof. EF: Sig. 17

Köhlerwandhöhle:

Frühatlantikum

Grabungsstelle 1: Qu. F3 (grauer Humushorizont mit Wurzeln), Qu. F3 (100–105 cm), Qu. F3/F4 (graubrauner Humus mit Geröll), Qu. F3/F4 (zwischen Blockwerk über Gestein), Qu. F4 (110–120 cm); oberflächlich an der Höhlenwand bei P12, bei P7 und bei P 15 (5 cm Schichtdicke) (große bis mittelgroße Arten)

Kollnbrunn:

Subboreal/frühbronzezeitlich, jungpleistozän vermischt

Graben I, Schn. 1, AB-Profil (Probe 6)

Graben II, Schn. 1, AB-Profil (Probe 10) (kleinere Art)

Krems, Schießstätte:

Ältestpleistozän

Probe KR 8/2: unter Paläoboden 8, nördlich der Stützmauer (kleine Arten)

Krems, Bäckersteig, Keller:

Jungpleistozän?

Probe 3: Abraum (Löß) mit kleinen Knochenresten

Laxenburg, Schlosspark:

älteres Atlantikum

nicht lokalisierbare Probe

Laxenburg, awarisches Gräberfeld:

7.–8. Jhdt. n. Chr.

Grab/Obj. Nr. 291 (Fnr. 649: cf.)

Mannswörth:

Jungpleistozän

Probe 1: sandige Tone auf Quarzschottern der Mannswörther Terrasse

Paudorf:

Jungpleistozän

Probe Nr. 1: Unterkante der unteren Bodenbildung („Göttweiger Bodenbildung“, „Lo1“), aus den obersten Schichten des liegenden Lösses

Probe Nr. 2: Unterkante der oberen Bodenbildung („Paudorfer Bodenbildung“, „Lo2+Lo3“)

Probe Nr. 3: Oberkante der oberen Bodenbildung („Lo4“) Typusprofil: holozäne humose Sedimente, linker Rand des Aufschlusses („Lo5“; „Limacidae, kleine Arten“)

Prellenkirchen:

Älter als die archäologische Datierung (Frühhestholozän)

Obj. 223 (Fnr. 173), 415 (176)

Rosenburg:

Epiatlantikum, ausklingend

Grabung 1989, Schn. 10, Schlitzgru. 44, N-Hälfte (Nr. 281)

Ruppersthal:

Jungpleistozän

Profil III:

Probe Nr. 2: 20–50 cm über der Oberkante des Tschernosems

Probe Nr. 8: 300–350 cm über der Oberkante des Tschernosems

Probe Nr. 9: 350–400 cm über der Oberkante des Tschernosems

Profil IV:

Probe Nr. 13: 100 cm unter der Unterkante der rezenten Humuslage

Schwallenbach:

Jungpleistozän: Spätwürm

Schichtkomplex D: Probe Nr. 18 (Zone mit Wurzelspuren)

Sommerein:

Mittelholozän

Spaltenfüllung

Stillfried, Westwall:

Jungpleistozän

Webgrube, „aus einem Gefäß“ (Fnr. 7253/1977) (große Art)

Ofen, Verf. 1 (Fnr. 7593/1981) (2 große, dicke Schälchenreste)

Stillfried, Hügelveld:

Jungpleistozän

Qu. D 19; Grube 2 (Fnr. 4552/1976)

Qu. H1, Plan. 4, Verf. 2, 0–5 cm (Fnr. 5354/1980)

Qu. C0, Verf. 1, –130–160 cm unter NW-Ecke (Fnr. 8468/

1982); –160–190 cm unter NW-Ecke (Fnr. 8483/1982)
 Qu. B0, Verf. 6, 230–255 cm unter NW-Ecke (Fnr. 8727/
 1982; große Art); 250–280 cm unter NW-Ecke (Fnr. 8801,
 8802, 8804, 8807, 8808/1982; große bzw. größere Arten)
 Riegel B1/C1, Verf. 1, –250–270 cm SW C1, Aushub (Fnr.
 11391/1983), Grube (Fnr. 11392/1983) und –279 cm SW C1
 (Fnr. 11399/1983)

„Urnenfelderzeit“ (9.–8. Jhdt. v. Chr.)

Qu. AB 3, Verf. 14, Obj. 841 (Fnr. 13348/1986) (größere
 Art)

„Urnenfelder-/Hallstattzeit“ (9.–8. Jhdt. bzw. 6.–5. Jhdt. v.
 Chr.)

Qu. G 20, beim Abbau des Prof.riegels, Grube 1, Obj. 407
 (Fnr. 4453, 4461/1976)

Qu. H1/H2, Prof.riegel, Verf. 3, Obj. 523 (Fnr. 5350/1980;
 große Art)

Stillfried, Kirchhügel und Kirche:

Jungpleistozän?

Qu. F3, 0–20 cm unter HOK (Fnr. 9372, Kirchberg 7/1976)
 (große Art)

Straß im Straßertale:

Wahrscheinlich etwas jünger als die Siedlung: spätes Mittel-
 holozän

Grabung 1989; Schn. 3: –Verf. Sohle, Sig. 14, NO-Sektor
 (Nr. 1582: mittelgroße Art); NO-Sektor, Plan. 3–Verf.
 Sohle, Sig. 19 (Nr. 1583: 2 Arten); SW-Sektor, Plan. 3–Verf.
 Sohle, Sig. 19 (Nr. 1584: 2 Arten); Verf. 3 (Nr. 1281)

Stratzing/Krems-Rehberg:

Jungpleistozän?

Prof. I: Tennisplatz-Ziegelei (1994): Probe 18 (425–450 cm
 Tiefe), Probe 24 (575–600 cm)

Ternitz:

Hochmittelalter bis subrezent

Fnr. 1898 (Sig. 749)

Wetzleinsdorf:

Jungpleistozän: Mittelwürm

Profil I: Probe Nr. 22: Bodenbildung, 160–180 cm über dem
 Übergangsbereich zwischen Verlehmungszone und Schwarz-
 erde (2 Arten)

Helicoidea

Meist rundlich-kugelige, konische, seltener scheibenför-
 mige, in Einzelfällen spitz-konische oder zylindrische Schale.
 Der Mundsaum adulter Schalen ist fast immer erweitert
 oder gelippt (oder beides); gelegentlich mit Zahnhöcker auf
 der Lippe. Sie sind die artenreichste Gruppe der Landlung-
 schnecken und umfassen etwa 1/5 aller ihrer derzeit
 lebenden Arten.

Überwiegend auf der nördlichen Hemisphäre; Verbrei-
 tungsschwerpunkt westliche Paläarktis. – Seit dem Tertiär.

Die systematische Gliederung dieser Überfamilie ist un-
 terschiedlich; im Wesentlichen stehen die Ansichten von
 SCHILEYKO und H. NORDSIECK einander gegenüber. Nach
 H. NORDSIECK (1986b; 1987 – mit kritischer Stellungnahme
 zu SCHILEYKO: 10–17) sollten in die Überfamilie Helicoidea
 nur die Gruppen mit Reizapparat gestellt werden. Sie sind
 mit wenigen Ausnahmen auf die Nordhalbkugel beschränkt.
 Nach der Ausbildung dieses Reizapparates bzw. des Geni-
 talsystems, des Kiefers sowie der Verbreitung stellt H.
 NORDSIECK folgende Familien zu den Helicoidea:

Sphincterochilidae (südwestliche Paläarktis; als plesio-
 morphe Gruppe der Helicoidea zu betrachten).

Xanthonychidae (westliche Nearktis, nördliche und west-
 liche Neotropis, westliche Paläarktis): Alle amerikanischen
 Helicoidea mit Reizapparat werden hier zusammengefasst.
 Die europäische *Elona*-Gruppe muss diesen als Unterfamilie
 angeschlossen werden. Sie sollte nach H. NORDSIECK (1986b,
 1987) nicht als selbständige Familie gewertet werden (wie
 von GITTENBERGER 1979; zit. ex H. NORDSIECK 1987). Ei-
 nerseits weil wichtige Gemeinsamkeiten mit den amerika-
 nischen Gruppen bestehen, andererseits gibt es schalenmä-
 ßige Ähnlichkeiten der fossilen *Elona*-Verwandten mit die-
 sen. Die *Elona*-Gruppe dürfte der Rest einer Gruppe von
 Helicoidea sein, die im europäischen Tertiär (vom Eozän bis
 zum Pliozän) reich vertreten war. Innerhalb der fossilen
 Eloninae lassen sich zwei Gruppen unterscheiden, die nach
 H. NORDSIECK (1986b: 112–113) spätestens seit dem Mitteleozän
 phylogenetisch, vermutlich auch ökologisch getrennt
 waren: große, eher dem helicoiden Typus entsprechende
 Gattungen, die den Ariantinae ähnlich sind (Elonini: *Eurys-
 trophe* GUDE und *Megalocochlea* WENZ – Obereozän; *Galac-
 tochiloides* WENZ – Obereozän bis Oberoligozän; *Metacam-
 pylaea* PILSBRY – Oberoligozän bis Untermiozän; *Galactochilus*
 SANDBERGER – Oberoligozän bis Obermiozän; *Cyrtochilus*
 SANDBERGER – Oberoligozän bis Untermiozän; *Tropidomphalus*
 PILSBRY – Unteroligozän bis Untermiozän; *Pseudochloritis*
 C. BOETTGER – Untermiozän bis Obermiozän; *Joossia* PFEFFER
 – Mittelmiozän; *Mesodontopsis* PILSBRY – Obermiozän
 bis Pliozän; *Puisseguria* SCHLICKUM – Pliozän. Von ihnen
 blieb im Pleistozän nur die *Elona*-Gruppe übrig), und kleine
 Arten, die mehr dem hygromioiden oder helicodontoiden
 Typus entsprechen (Klikiini H. NORDSIECK 1986b: *Klikia*
 PILSBRY – Obereozän bis Obermiozän; *Apula* C. BOETTGER
 inkl. *Steklovia* SCHLICKUM u. STRAUCH – Untermiozän bis
 Pliozän; *Soosia* HESSE – ab Pliozän). Die Zugehörigkeit der
Klikia-Gruppe zu den Eloninae ist nicht gesichert; sie könn-
 te auch zu den Hygromiidae gehören. *Soosia* wurde von
 HESSE zu den Helicodontinae gestellt; ihre Zugehörigkeit zu
 den Klikiini ist nach H. NORDSIECK (1986b: 113; 1987: 42)
 wahrscheinlicher.

Mesodontopsis könnte ein Nachkomme der *Tropidomphalus*-
 Gruppe sein. Sie soll im Obermiozän aus *Pseudochloritis*

hervorgegangen sein (LUEGER 1981: 63–65). Sie ist aber auch *Galactochilus* ähnlich (SCHLICKUM u. STRAUCH 1973: 171–172), sodass eine Entstehung aus dieser Gruppe ebenfalls in Erwägung gezogen wurde.

Bradybaenidae (östliche Paläarktis, östliche Orientalis, eine Art in der westlichen Paläarktis): Nach Abtrennung der *Halolimnohelix*-Gruppe ziemlich geschlossen; abgesehen von einer Art, die im Pleistozän Europa erreichte, auf Asien beschränkt.

Hygromiidae (Paläarktis mit Kap Verden, besonders westliche Paläarktis; östliche Äthiopis): Sie sind von den Helicidae genitalmorphologisch klar unterscheidbar. Die Gliederung dieser Familie ist schwierig und bei den einzelnen Autoren unterschiedlich; einerseits, weil etliche rezente Gruppen noch nicht genügend bekannt sind, andererseits, weil hierher auch verschiedene europäische tertiäre Gruppen gehören, deren Beziehung zu bestimmten rezenten Gruppen noch zu klären ist. Nach H. NORDSIECK (1987: 32; 1993a: 4) werden die helicodontoiden Gruppen als Unterfamilie Helicodontinae KOBELT 1904 der Familie Hygromiidae einbezogen; FALKNER et al (2001: 22) oder REISCHÜTZ (1998b: 41) sehen sie als selbständige Familie an; Verbreitung: westliche Paläarktis, besonders Südeuropa.

Größere Faunenanteile erreichten die Hygromiinae erst im Pleistozän.

Helicidae (westliche Paläarktis mit Kap Verden, eine Art auch in der nordöstlichen Nearktis). Hierher gehören mehrere tertiäre Gruppen Europas. Die Ariantinae sind mit wenigen Arten vom Pliozän an nachweisbar; rezentes Unterfamilienareal: Europa ohne Kaukasien, eine Art in Nordafrika. Sie sind eine geschlossene Gruppe, trotz des abweichenden Schalenbaues einiger Gattungen (*Helicigona*-Gruppe, *Cylindrus*, *Isognomostoma*-Gruppe). Die Helicinae sind seit dem Eozän reichlich vertreten, vor allem im Neogen mit der *Cepaea*-Gruppe (H. NORDSIECK 1986b). Rezentes Areal wie die Familie; sie sind eine weniger geschlossene Gruppe wie die Ariantinae; die Untergliederung ist schwierig.

Nach H. NORDSIECK (1987: 38–41) besaß die Helicoidea-Stammform außer den plesiomorphen Stylommatophoren-Merkmalen und den apomorphen der heliciden Sigmurethra (H. NORDSIECK 1985a) einen wahrscheinlich am Atrium inserierenden Reizapparat; möglicherweise ähnlich dem der Sphincterochilidae. Die übrigen Familien der Helicoidea dürften eine monophyletische Gruppe darstellen, da sie einen entsprechenden Reizapparat (Pfeilapparat) besitzen und geographisch \pm vikariieren (abgesehen von den Hygromiidae und Helicidae der Westpaläarktis). Diese Gruppe dürfte in der Westpaläarktis entstanden sein (dort zeigt sie die größte Diversität) und sich von da nach Amerika und Asien ausgebreitet haben. Diesbezüglich ist sie den Clausiliidae

vergleichbar, die das gleiche Entstehungsgebiet und das gleiche Verbreitungsmuster haben (H. NORDSIECK 1986b). Der Reizapparat dieser Gruppe war der plesiomorphe Pfeilapparat, bestehend aus Pfeilsack und zwei an dessen Basis inserierenden einfachen Drüsen. Von dieser Gruppe dürften sich erst die Xanthonychidae abgetrennt haben (weite Verbreitung, sehr hohe Diversität auf Familienniveau). Sie haben nur plesiomorphe Merkmale (z. B. die einfachen Drüsen des Reizapparates) gemeinsam.

Bei den anderen ist es die Frage, ob Bradybaenidae und Hygromiidae oder Hygromiidae und Helicidae eine monophyletische Gruppe bilden. Erstere vikariieren geographisch mehr oder weniger; die zweiten haben beide als Verbreitungszentrum die Westpaläarktis und vikariieren dort mehr oder weniger ökologisch. Zwischen allen drei Familien gibt es keine Übergänge, weder in Europa noch in Asien. Die Hygromiidae zeigen verhältnismäßig hohe Diversität auf Familienniveau, die Bradybaenidae und Helicidae nicht.

Im Ganzen gesehen scheint es wahrscheinlicher, dass Hygromiidae und Helicidae eine monophyletische Gruppe bilden, d. h., dass die siphonalen Drüsen, deren Ausbildung innerhalb der heliciden Sigmurethra einzigartig ist, nur einmal entstanden sind. Entscheidende Veränderungen erfolgten bei den Helicoidea wie bei den Clausilioidea im Grenzbereich MN 16/17, d. h. mit der zeitlich entsprechenden bedeutenden Klimaverschlechterung (Praetiglium, ca. 2,5 Millionen Jahre v. h.; H. NORDSIECK 1982b: 147, 150). Diese Grenze ist die der plio- und pleistozänen Binnenmolluskenfaunen. Die von der Marinstratigraphie angenommene Plio-Pleistozängrenze (Obergrenze des Olduvai-Events, ca. 1,6 Millionen Jahre v. h., liegt innerhalb MN 18) ist nicht mit größerer Faunenveränderung verbunden.

An der Grenze MN 16/17 ist der Wechsel bei den Helicoidea durch Verminderung der Anzahl der zu den Eloninae und Vermehrung der Anzahl der zu den Hygromiinae und Ariantinae gehörigen Arten gekennzeichnet (vermutlich ökologischer Ersatz; H. NORDSIECK 1986b: 115).

Wesentliche Unterschiede zu den Ansichten zur Phylogenie von SCHILEYKO (1978) sind: 1. Die Helicoidea sind monophyletisch (nicht diphyletisch); 2. ein einfach vorhandener Reizapparat ist plesiomorph (nicht ein mehrfach vorhandener); 3. weder die Rest-Helicoidea (ohne Hygromiidae) noch deren Untergruppen sensu SCHILEYKO (= Humboldtianidae + Helicidae bzw. Helminthoglyptidae + Bradybaenidae) sind monophyletische Gruppen (vgl. auch SCHILEYKO 1989, 1991).

Die anderen Gruppen, die bis dato in die Überfamilie der Helicoidea gestellt wurden (Camaenidae, Oreohelicidae, Ammonitellidae = Megomphicidae, Corillidae = Plectopylididae), sollten in eigene Überfamilien der heliciden Sigmurethra gestellt werden, bzw. gehören zu den achatiniden Sigmurethra (vgl. H. NORDSIECK 1986a). Die Camaenidae

unterscheiden sich von den Helicoidea durch das Fehlen des Divertikels und (meist) des Reizapparates. Außerdem ist bei manchen amerikanischen Camaenidae und den wahrscheinlich mit ihnen verwandten Solaropsidae ein Reizapparat, der am Penis inseriert, sowie als weitere Besonderheit der Camaenidae ein Peniscoecum vorhanden. Die Oreohelicidae sind nicht in die Nähe der Camaenidae zu stellen, sondern in die Nähe der Discidae (Punctoidea), damit zu den Achatiniden Sigmurethra. Die Ammonitellidae sind nach Ausbildung von Kiefer und Genitalsystem nicht mit den Camaenidae näher verwandt. Die Befunde sprechen für eine Verwandtschaft mit den Caryodidae und Strophocheilidae. Die Familie ist den Acavoidea, damit den Achatiniden Sigmurethra zuzuordnen. In der Familie Corillidae wurden bisher drei verschiedene Gruppen vereinigt, zwei asiatische holopode (*Corilla*- und *Plectopylis*-) Gruppen und die afrikanische aulacopode *Sculptaria*-Gruppe. Alle drei gehören nach Anatomie und Verbreitung zu den Achatiniden Sigmurethra und können vorläufig als Überfamilie Plectopylidoidea zusammengefasst werden, die den Acavoidea nahe stehen dürfte.

GIUSTI, MANGANELLI u. SELMI (1989, 1991) ziehen die Feinmorphologie adulter Spermatozoen, die sehr konstant scheint, für phylogenetische Überlegungen zu den Helicoidea heran. APARICIO u. MANGA (1989) sind der Ansicht, dass die Helicoidea die Familien Elonidae, Helicidae und Sphincterochilidae umfassen. Die getroffenen Aussagen werden mittels PAUP (microcomputer parsimony program; verwendete Kriterien sind Schale, Genitalsystem u. a.) erarbeitet.

Xanthonychidae

Die Familie umfasst auch Halbnackt- und Nacktschnecken. In dieser Familie vereinigt H. NORDSIECK (1987: 18–24) trotz hoher Diversität alle amerikanischen Helicoidea und die europäische *Elona*-Gruppe (s. o.). Die amerikanischen Xanthonychidae werden in verschiedene Unterfamilien gegliedert, wobei diese Gliederung noch als mehr oder weniger provisorisch anzusehen ist, da vor allem die mittel- und südamerikanischen Gruppen mangelhaft bekannt sind. Genitalanatomisch (Merkmale des Reizapparates) zeigt die *Elona*-Gruppe Verwandtschaftsbeziehungen zu den Xanthonychidae. Bei den fossilen *Elona*-Verwandten besteht außerdem conchologische Ähnlichkeit mit diesen. Die fossilen Eloninae werden in zwei Triben gegliedert, die „*Galactochilus*-Gruppe“ = Elonini und die „*Klikia*-Gruppe“ = Klikiini sensu H. NORDSIECK (1986a: 112–113; 1987: 24). Von den ersteren blieb im Pleistozän die *Elona*-Gruppe erhalten, von den Klikiini wahrscheinlich nur *Soosia* (s. o.). Die derzeit in der „*Galactochilus*-Gruppe“ zusammengefassten Gattungen wurden in der Literatur überwiegend zu den Campylaeinae (= Ariantinae) gestellt; teils als „*Galactochilus*-artige Euloti-

den“, teils als eigene Gruppe betrachtet (PFEFFER 1929: 62–89); Literaturübersicht in H. NORDSIECK (1987).

Westliche Nearktis, Nord- und Westneotropis, Westpaläarktis.

Ab dem oberen Eozän.

Elonini

Mesodontopsis PILSBRY 1895

Beschreibung nach PFEFFER (1929: 79): Sehr groß, mehr oder weniger stark gedrückt kugelig-kegelig; $4\frac{1}{2}$ – $5\frac{1}{2}$ Umgänge. Gewinde sehr niedrig kuppelförmig mit schwach abgesetzten Umgängen. Letzter Umgang nicht aufgeblasen; zur Mündung hin schwach absteigend. Unterseite stark gewölbt; Mündung halb elliptisch mit starkem, dickem Umschlag. Extralabiale Depression; Innenlippe kräftig, ihr Innenrand mit der intralabialen Schwelle zusammenfallend. Nabel durch eine dicke Callusplatte bedeckt, die vom Unterrand des Mundsauces beginnt und sich über die Mündungswand erstreckt. Am Unterrand des Mundsauces dort eine Anschwellung, wo der Callus ihn verlässt. Embryonalgewinde etwa $1\frac{1}{4}$ Umgänge (oder etwas mehr), mit enger, deutlicher Radialrippung; die Rippen der Adultschale hauptsächlich aus Nebenrippen und Fäden bestehend. Dazu eine „notenlinienartige“, aber engere Spiralfurchung und eine feine, eng stehende Spiralstrichelung aus gekörnelten Stricheln und Spuren einer absteigenden Spiralskulptur.

Revision von SCHLICKUM u. STRAUCH (1973); nach den Autoren vier Arten umfassend, die die Gebiete westlich und südlich der Alpen, die der Randgebiete der Paratethys östlich der Alpen und das nordwestliche Mitteleuropa besiedelten. Zu Ende des Miozäns soll sich die Gattung aus *Galactochilus* entwickelt haben (SCHLICKUM u. STRAUCH 1973: 153, 171–172); nach LUEGER (1981: 63–65) aus *Pseudochloritis*; letzterer führt *Mesodontopsis* als Untergattung von *Tropidomphalus* PILSBRY 1895.

Lebensräume dürften die Kraut- und Strauchschicht nahe größerer stehender Gewässer gewesen sein.

Obermiozän bis Pliozän.

Mesodontopsis doderleini (BRUSINA 1897)

(Taf. XLVI: 8–9; Karte 227)

15–26 mm H : 27–43 mm B; $4\frac{1}{2}$ – $5\frac{1}{2}$ Ugg. (Beschreibung nach SCHLICKUM u. STRAUCH 1973: 161–166; Abb. 3, 9–14; ergänzt aus LUEGER 1981: 61–65; Taf. 10, Fig. 5a–b, Taf. 11, Fig. 2–5, 6a–b). Schale mittelgroß bis groß, fest, helicoid, mit wechselnd leicht abgeflachter Spira und gewölbter Basis, die nur in der Nabelregion leicht abgeflacht ist. Gleichmäßig zunehmende Umgänge, oberseits schwach gewölbt; die Naht deutlich eingetieft. Protoconch planspiral, groß und glatt, meist nicht deutlich vom übrigen Gewinde abgesetzt, welches flach bis höher kegelförmig oder

Karte 227



buckelartig ist. Der letzte Umgang tritt zur Mündung hin leicht tangetial aus und steigt bei Adultschalen über 2–8 mm um 1–4 mm abwärts. Dadurch steht die nach basal zurückgenommene Mündung wechselnd schräg zur Achse. Der freie Mundsaum ist winkelig bis abgerundet um 90° umgeschlagen oder schwach zurückgewölbt. Mündung querelliptisch bis halbkreisförmig, bei wechselnder Wölbung der Außenlippen, durch den vorstehenden Umgang nur leicht ausgeschnitten. Basale Lippe gewölbt bis gerade gestreckt, je nach der Breite ihres Umschlages ist die Nabelgegend breit-zungenförmig durch eine dicke, glatte Schwiele bedeckt, oder die konische Columellarbasis nur von einer dünnen Schmelzlage überzogen. Davon hängt auch die wechselnde Dicke der von der Nabelgegend zum Suturansatz verlaufenden parietalen Schmelzaufgabe ab. Nabelgegend leicht eingesenkt und von einem aussackenden zentralen Basisteil umgrenzt.

Das H : B-Verhältnis zeigt eine auffällende Streuung, besonders bei den Adulten. Auch sind Größe und Formmerkmale variabel, sodass manchmal der Eindruck mehrerer Arten entsteht. Sehr flache Individuen liegen vor aus Niederösterreich (Schwechat und Mannersdorf) bzw. von Ungarn (Nyárad, Fonyód). Mit der Abflachung ist die stärker

gewinkelte Stellung der Mündungsebene gekoppelt. Schalen, die im Verhältnis zur Breite sehr hoch sind, haben steiler stehende Mündungen. Die größere Höhe ist durch steiler abfallende Flanken des insgesamt höheren letzten Umganges bedingt, nicht durch eine höhere Spira (z. B. Exemplare aus Vászony, Ungarn). – Die breite Nabelschwiele unterliegt ebenfalls einer gewissen Variabilität. Sie kann relativ breit und überladend sein, aber auch stark zurückgebildet bis ganz wegfallend, dann geht der basale Lippenrand konisch in die Columella über, und die Innenlippenschwiele ist sehr schwach. Vor allem solche Exemplare, die dazu noch recht hohe, dabei relativ kleine Schalen mit steil stehender Mündungsebene besitzen, sind teilweise schwer von *Galactochilus* abzutrennen.

Die Schalen sind in limnischen Thanatocoenosen eingeschwemmt. Da Größe und Form keinen weiten schwimmenden Transport erlauben und die Schalen meist gut erhalten sind, dürften sie aus nächst gelegenen Biotopen eingeschwemmt worden sein. Die Tiere dürften in den ufernahen, wahrscheinlich bodenfeuchten Niederungen gelebt haben, vermutlich in der Strauch- und Krautschicht. Sommertrockenes Klima ist anzunehmen, was für *Mesodontopsis* eine Ruheperiode bedeuten würde. Die breite, glatte, freie

Lippe gewährleistet im Ruhestadium einen guten Kontakt zur Unterlage. Damit die parietalseitige Auflage ebenfalls möglichst eng ist, müssen freie Lippe und Mündung möglichst die gleiche Stellung haben wie die Basisfläche des letzten Umganges. Die Mündungsebene variiert entsprechend der variablen Schalenform. Zunehmende Größe bei Abflachung mit entsprechender Umgestaltung der Mündung ermöglicht flaches Anschmiegen an den Untergrund oder Verkriechen in dessen Spaltenräumen (SCHLICKUM u. STRAUCH 1973: 166–167; LUEGER 1981: 62–63).

Bekannt aus dem obersten Miozän des Wiener Beckens (Pont G/H: Stillfried, Mannersdorf b. Angern, Angern, Gänserndorf, Markgrafeneusiedl, Schwechat, Fischamend, Leopoldsdorf, Stammersdorf-Rendezvousberg, Ebergassing, Velm, Gols; Pont H: Eichkogel; LUEGER 1981: 62; einige der ostösterreichischen Populationen zeigen Tendenz zur Ausbildung einer plattenförmigen Nabelverdeckung). Sie kann hier als ein Leitfossil des oberen Pont angesprochen werden. Besonders bezeichnend ist sie auch für das ungarische Pont (zahlreiche Fundmeldungen; vgl. SCHLICKUM u. STRAUCH 1973: 166); stratigraphisch entspricht sie hier den „*Congeria rhomboidea*“- bzw. „*Congeria balatonica*“-Schichten und der Fazies der „*Unio wetzleri*-Sande“ (dazu auch LUEGER 1979b). Weitere Vorkommen sind in Kroatien (l. typ.: Lepavina), in der Slowakei, Rumänien, in Rußland (Krim); nach SCHÜTT (1985: 204–205; Taf. 3, Fig. 35) auch in Westanatolien (Türkei: Budan bei Sarayköy Vilayet Denizli, im Canyon des Menderes-Flusses).

Nach SCHLICKUM u. STRAUCH (1973: 169–172) erscheint die Ableitung der *Mesodontopsis* aus *Galactochilus*-Stämmen höchst wahrscheinlich, und zwar von solchen, die deutliche Größenzunahme, Abflachung und eine Nabelentwicklung zeigen, die zu *Mesodontopsis* überleitet. Dies wäre bei der ältesten *Galactochilus*-Gruppe gegeben. Die Autoren nehmen an, dass der Ursprung von *Mesodontopsis* in Populationen des *G. inflexum*-*G. mattiacum*-Kreises bzw. deren Nachfolger zu suchen sei. Weiteres wird angenommen, dass „weitestgehend gleichzeitig“ an verschiedenen Stellen aus *Mesodontopsis*-artigen Populationen (ähnlich *G. silesianum*) drei Artengruppen hervorgingen; zwei östlich und westlich der Alpen und eine im nördlichen Mitteleuropa. LUEGER (1981: 63–65) spricht sich gegen die von SCHLICKUM u. STRAUCH (1973) diskutierten Verwandtschaftsbeziehungen von *Mesodontopsis* zu *Galactochilus* aus. Die Verdeckung des Nabels wird von ihm als eine Folge des Selektionsdruckes in Richtung einer schiefen gestellten Mündung interpretiert, welche das Eindringen von Fressfeinden erschwert. Bei *M. doderleini* kommen auch Exemplare mit nur unvollständig verschlossenem Nabel vor, auch sie ist meist kleiner als die anderen Arten der Gattung. Daher nimmt LUEGER an, dass es sich bei ihr um den ursprünglichsten Vertreter der Gruppe handelt, mit einer Ausbreitung von Ost nach West. Hinsichtlich vieler

Merkmale bestehen Übereinstimmungen zwischen *M. doderleini* und *Pseudochloritis*. Innerhalb der letzteren Untergattung bestehen Tendenzen in Richtung Abflachung und Nabelverschluss. Ein solcher wäre bereits im Untermiozän bei der Entwicklung der Untergattung (?) *Tropidomphalus* (offen genabelt) zur Untergattung *Pseudochloritis* (halbbedeckt genabelt) feststellbar. Schalenabflachung wäre in der Entwicklung von *T. (Pseudochloritis) zelli zelli* (KURR) zu *T. (P.) zelli depressus* WENZ 1927 (Pannon C–E, Pont F/G bzw. „Pont“) fassbar, wozu auch die Tendenz zum Nabelverschluss käme.

Mesodontopsis sollte daher nach der Meinung von LUEGER wie *Pseudochloritis* als Untergattung von *Tropidomphalus* angesehen werden. – Ich folge der Ansicht von H. NORDSIECK (1986b: 112) sowie von SCHLICKUM u. STRAUCH (1973), die *Mesodontopsis* als Gattung qualifizieren.

Fundstellen

Neudegg:

Mittelplozän bis Ältestpleistozän?

mit Sand und Schotter vermischte Terra-rossa-Reste

Stillfried, Hügelfeld:

„Urnenfelderzeit“ (9.–8. Jhdt. v. Chr.)

Qu. AB 3, Verf. 14, Obj. 841 (Fnr. 13351/1986; Pleistozän und älter vermischt!)

Klikiini

Die Zugehörigkeit der Gruppe ist nicht gesichert (vgl. H. NORDSIECK 1986b: 113), es wäre auch eine Zugehörigkeit zu den Hygromiidae möglich. – Beschreibung nach PFEFFER (1929: 83–84; WENZ u. ZILCH 1959: 706–707): Sehr verschieden gestaltet, mehr oder weniger gedrückt-rundlich mit kuppelförmigem bis wenig gewölbtem, seltener konvexkegelförmigem Gewinde. $4\frac{1}{3}$ –6 gewölbte, langsam und regelmäßig anwachsende Umgänge; Naht \pm eingetieft. Mündung schief breit-halbmondförmig; Mundrand als ziemlich dicke und breite, saumartige Platte umgeschlagen. Extralabiale Depression tief und breit. Letzter Umgang vor der Mündung nicht bis schwach ansteigend, an der oberen Ecke der Mündung etwas zum Mündungsrand ansteigend. Mundsäumunterrand allmählich in die schräge, lange Columella ansteigend. Nabel \pm breit, von der Columellarplatte nicht, teilweise oder ganz verdeckt. Mündungswandcallus in einfachem, nach dem Mündungsinneren zu geschlossenen Bogen. Embryonalgewinde $1\frac{1}{4}$ – $1\frac{1}{2}$ Umgänge; mehr oder weniger regelmäßige, ziemlich feine, runzelige Rippen, die längliche Auflagerungen zeigen können; mit Beginn des Teleoconchs bilden sie manchmal eine korbgeflechtartige Struktur, oder die Rippen sind mehr oder weniger verschwunden, und die Auflagerungen bilden eine tropfenartige Struktur. Teleoconch mit mehr oder weniger deutli-